

รายงานการวิจัย
โครงการวิจัยร่วมภาครัฐและเอกชน

การพัฒนาชุดทดลองระบบควบคุมอัตโนมัติเพื่อการวิจัย
และฝึกอบรมด้านเทคโนโลยีควบคุมขั้นสูง ปีที่ 3

คณะผู้วิจัย

ผศ.ดร.มานพ วงศ์สายสุวรรณ

รศ.ดร.วราภรณ์ เขาว์วิศิษฏ์

รศ.ดร.วัชรพงษ์ ไชวิฑูรกิจ

รศ.ดร.เดวิด บรรเจิดพงศ์ชัย

อ.ดร.สุชิน อรุณสวัสดิ์วงศ์

ภาควิชาวิศวกรรมไฟฟ้า

คณะวิศวกรรมศาสตร์

จุฬาลงกรณ์มหาวิทยาลัย

สารบัญ

	หน้า
สารบัญ	ก
สารบัญตาราง	ค
สารบัญภาพ	ง
บทที่	
1 บทนำ	1
1.1 ความเป็นมาและความสำคัญ	1
2 แบบจำลองทางคณิตศาสตร์ของระบบเพนดูลัมผกผันแบบหมุน	2
2.1 แบบจำลองของระบบแบบสัญญาณขาเข้าเป็นแรงบิดและไม่เป็นเชิงเส้น	2
พลังงานจลน์ของระบบ	2
พลังงานศักย์ของระบบ	4
2.2 ของระบบแบบสัญญาณขาเข้าเป็นแรงบิดและเป็นแบบเชิงเส้น	4
2.3 เพนดูลัมผกผันคู่แบบหมุน	5
ลักษณะและพลวัตของระบบ	5
แบบจำลองเชิงเส้นที่เปลี่ยนตามพารามิเตอร์	8
3 การออกแบบระบบควบคุม	11
3.1 แบบจำลองที่มีแรงบิดเป็นสัญญาณขาเข้า	11
Optimal Control	11
ผลตอบสนองหลังจากควบคุม	13
3.2 แบบจำลองที่มีความเร็วเชิงมุมของจานหมุนเป็นสัญญาณขาเข้า	14
ผลตอบสนองจากการควบคุม	15
4 วงจรประยุกต์ของระบบเพนดูลัมผกผันแบบหมุน	17
4.1 โครงสร้าง	17
4.2 ส่วนควบคุม	17
4.3 การทำงานของวงจร	18
วงจรควบคุมมอเตอร์	19
วงจรเซนเซอร์	21
5 การหาค่าเอกลักษณ์ของระบบ	26
5.1 การหาเอกลักษณ์ของจานหมุน	26
การหาเอกลักษณ์ของจานหมุนด้วย Parametric method : ARX	26
5.2 การหาเอกลักษณ์ของแท่งเพนดูลัม	28
6 การนำไปใช้กับระบบจริง	33
6.1 ประมาณเป็นเชิงเส้นเพื่อหาอัตราขยายการป้อนกลับโดย LQR	33
6.2 ทดลองใช้กับระบบจำลองที่รวมความไม่เชิงเส้น	34
6.3 ทดลองใช้กับระบบจริง	34
7 บทสรุป	44
7.1 สิ่งที่ได้ทำแล้ว	44

	หน้า
7.2 สิ่งที่จะต้องทำในอนาคต	44
รายการอ้างอิง	45
ภาคผนวก	46
ภาคผนวก ก C-ARM Program	47
ก.1 ไฟล์ ‘Main.c’	47
ก.2 ไฟล์ ‘Init.c’	56
ก.3 ไฟล์ ‘Init.h’	58
ก.4 ไฟล์ ‘/uart/uart.c’	59
ก.5 ไฟล์ ‘/uart/uart.h’	66
ก.6 ไฟล์ ‘/uart/command.c’	67
ก.7 ไฟล์ ‘/uart/command.h’	71
ก.8 ไฟล์ ‘/timer/timer.c’	72
ก.9 ไฟล์ ‘/timer/timer.h’	73
ก.10 ไฟล์ ‘/pwm/pwm.c’	74
ก.11 ไฟล์ ‘/pwm/pwm.h’	75
ก.12 ไฟล์ ‘/NSK/nsk.c’	76
ก.13 ไฟล์ ‘/NSK/nsk.h’	78
ก.14 ไฟล์ ‘/ext/ext.c’	79
ก.15 ไฟล์ ‘/ext/ext.h’	80
ก.16 ไฟล์ ‘/control/control.c’	81
ก.17 ไฟล์ ‘/control/control.h’	82
ก.18 ไฟล์ ‘/adc/adc.c’	83
ก.19 ไฟล์ ‘/adc/adc.h’	84

สารบัญตาราง

ตาราง	หน้า
2.1 ตัวแปรของระบบเพนดูลัมผกผันแบบหมุน	3
2.2 ค่าพารามิเตอร์ของเพนดูลัมผกผันคู่แบบหมุน	8
5.1 คอรีเลชันระหว่างทอร์กและความเร่งเชิงมุมที่มีการชดเชยการประวิงเวลาต่าง ๆ	26

สารบัญภาพ

ภาพประกอบ	หน้า
2.1 แท่งเพนดูลัมและจานหมุน	3
2.2 กราฟแสดงผลตอบสนองทางเวลาสำหรับระบบ (ก) ไม่เชิงเส้น; (ข) เชิงเส้น	6
(ก) กราฟแสดงผลตอบสนองทางเวลาสำหรับระบบไม่เชิงเส้น	6
(ข) กราฟแสดงผลตอบสนองทางเวลาสำหรับระบบเชิงเส้น	6
2.3 ระบบเพนดูลัมผกผันคู่แบบหมุน	7
3.1 แสดงผลตอบเชิงเวลาของระบบที่มีสัญญาณขาเข้าเป็นแรงบิดภายหลังการควบคุมแบบ LQR ต่อฟังก์ชันขั้นบันไดขนาด 1 rad เริ่มที่เวลา 0 s	14
3.2 แสดงผลตอบเชิงเวลาของระบบที่มีสัญญาณขาเข้าเป็นความเร็วเชิงมุมของจานหมุนภายหลังการควบคุมแบบ LQR ต่อฟังก์ชันขั้นบันไดขนาด 1 rad เริ่มที่เวลา 0 s	16
4.1 มิติด้านข้างของแท่งวางของระบบเพนดูลัมผกผันแบบหมุน	17
4.2 มิติด้านบนของแท่งวางของระบบเพนดูลัมผกผันแบบหมุน	17
4.3 ภาพแผนวงจรถวลของมอเตอร์ของระบบเพนดูลัมผกผันแบบหมุน scale 1:1.6	18
4.4 ภาพด้านบนแผนวงจรถวลของระบบเพนดูลัมผกผันแบบหมุน scale 1:1.6	19
4.5 แผนภาพวงจรถวลของระบบเพนดูลัมผกผันแบบหมุน	22
4.6 แผนภาพวงจรถวลของระบบเพนดูลัมผกผันแบบหมุน	23
4.7 ภาพตำแหน่งของอุปกรณ์ด้านบนและล่างในวงจรถวลของระบบเพนดูลัมผกผันแบบหมุน 24	
4.8 ภาพตำแหน่งของอุปกรณ์ด้านบนและล่างในวงจรถวลของระบบเพนดูลัมผกผันแบบหมุน 25	
5.1 ความสัมพันธ์ระหว่างทอร์กและความเร่งเชิงมุมเมื่อไม่มีการชดเชยการประวิงเวลา	27
5.2 ความสัมพันธ์ระหว่างทอร์กและความเร่งเชิงมุมเมื่อมีการชดเชยการประวิงเวลา 2 คาบการสุม 27	
5.3 การเปรียบเทียบผลตอบสนองสัญญาณทอร์กเป็นขั้นและความเร่งของจานเพนดูลัมทั้งที่วัดได้และที่ได้จากการจำลองโดยใช้แบบจำลองทั้งสองแบบ	29
5.4 แบบจำลองความสัมพันธ์ระหว่างความเร็วและแรงเสียดทานที่เกิดขึ้นในจานหมุน	29
5.5 ผลตอบสนองการแกว่งของแท่งเพนดูลัมจากระบบจริง	32
6.1 แผนภาพแสดงแบบจำลองของระบบเพนดูลัมไม่เชิงเส้น	35
6.2 แผนภาพย่อยที่ 1 ของแบบจำลองของระบบเพนดูลัมไม่เชิงเส้น (Pinv)	36
6.3 แผนภาพย่อย 1-2 ของแบบจำลองของระบบเพนดูลัมไม่เชิงเส้น (P12)	37
6.4 แผนภาพย่อย 1-1 ของแบบจำลองของระบบเพนดูลัมไม่เชิงเส้น (P11)	37
6.5 แผนภาพย่อย 2 ของแบบจำลองของระบบเพนดูลัมไม่เชิงเส้น (MultiplyMatrix)	37
6.6 แผนภาพย่อย 3 ของแบบจำลองของระบบเพนดูลัมไม่เชิงเส้น (Friction)	38
6.7 แผนภาพย่อย 4 ของแบบจำลองของระบบเพนดูลัมไม่เชิงเส้น (Param)	39
6.8 แผนภาพแสดงการจำลองการควบคุมระบบเพนดูลัมไม่เชิงเส้น	40
6.9 การจำลองผลตอบสนองมุมจานหมุนของการควบคุมแท่งเพนดูลัมแบบผกผันที่มีมุมเบี่ยงเบนเริ่มต้น $\pi/18$	41

ภาพประกอบ	หน้า
6.10 การจำลองผลตอบสนองมุมแ่งเพนดูลัมของการควบคุมแ่งเพนดูลัมแบบผกผันที่มีมุมเบี่ยงเบนเริ่มต้น $\pi/18$	41
6.11 ผลตอบสนองมุมแ่งเพนดูลัมช่วงการแกว่งแ่งเพนดูลัมขึ้นด้วยการเพิ่มพลังงานที่ละน้อย . . .	42
6.12 ผลตอบสนองมุมแ่งเพนดูลัมช่วงการควบคุมแ่งเพนดูลัมขึ้นด้วยอัตราการป้อนกลับที่คำนวณได้	42
6.13 ผลตอบสนองมุมของจานหมุนเพนดูลัมช่วงการแกว่งแ่งเพนดูลัมขึ้นด้วยการเพิ่มพลังงานที่ละน้อย	43
6.14 ผลตอบสนองมุมของจานหมุนเพนดูลัมช่วงการควบคุมแ่งเพนดูลัมขึ้นด้วยอัตราการป้อนกลับที่คำนวณได้	43

บทที่ 1

บทนำ

1.1 ความเป็นมาและความสำคัญ

อุตสาหกรรมของประเทศไทยยังต้องการบุคลากรในสายเทคโนโลยีอีกเป็นจำนวนมาก แต่การฝึกอบรมบุคลากรในสายงานนี้ นอกจากจะต้องใช้อาจารย์ผู้สอนที่มีความรู้ความชำนาญแล้ว ยัง จำเป็นต้องใช้อุปกรณ์ชุดทดลองที่มีคุณภาพอีกเป็นจำนวนมาก ปัจจุบันประเทศไทยยังนำเข้า อุปกรณ์เหล่านี้จากต่างประเทศเป็นจำนวนมาก ซึ่งส่วนใหญ่มีราคาค่อนข้างสูง โดยเฉพาะ อุปกรณ์ทางด้านวิศวกรรมระบบควบคุม

วัตถุประสงค์ของโครงการวิจัยนี้คือ การพัฒนาต้นแบบชุดทดลองสำหรับการฝึกอบรมด้าน ระบบควบคุมอัตโนมัติโดยเฉพาะ เพื่อให้เหมาะสำหรับการเรียนการสอน และยังใช้ใน งานวิจัยได้อีกด้วย ในบรรดาชุดทดลองมากมายที่มีใช้กันอยู่ในปัจจุบัน ชุดทดลองระบบ เพนดูลัมผกผันเป็นหนึ่งในชุดทดลองที่ได้รับความสนใจและได้รับความนิยมนานเป็นเวลานาน เนื่องจากมีโครงสร้าง เชิงกลที่ไม่ซับซ้อน แต่ก็มีพฤติกรรมที่ไม่เป็นเชิงเส้น (non-linearity) สูง ทำให้เป็น โจทย์ที่ทำหายสำหรับการควบคุม อีกทั้งยังสามารถออกแบบกลยุทธ์ในการควบคุมได้หลากหลายรูปแบบ

ถึงแม้ว่าชุดทดลองเหล่านี้ เราสามารถซื้อหาได้จากต่างประเทศ แม้ว่าจะมีราคาสูงอยู่บ้าง แต่ ชุดทดลองที่นำเข้ามามักจะใช้ซอฟต์แวร์ที่มีลิขสิทธิ์และมีข้อจำกัดในการดัดแปลงแก้ไข ทำให้ สามารถใช้งานหรือทดสอบตัวควบคุมแบบต่าง ๆ ได้เฉพาะที่มีเตรียมไว้ให้ในคู่มือเท่านั้น เพราะ ไม่มีการเปิดเผยรหัสต้นฉบับ (source code)

เพื่อแก้ไขอุปสรรคดังกล่าว คณะวิจัยจึงศึกษาการทำชุดทดลองต้นฉบับขึ้นใช้เอง โดยติดต่อกับ บริษัทเอกชนที่มีศักยภาพในการพัฒนาชุดทดลองที่ใช้มอเตอร์ เพื่อให้เราสามารถสร้างฮาร์ดแวร์ได้จากวัสดุภายในประเทศ และร่วมพัฒนาซอฟต์แวร์และคอร์สแวร์สำหรับการใช้ในการเรียน การสอนต่อไป โดยเริ่มจากชุดทดลองเพนดูลัมเป็นกรณีแรก

บทที่ 2

แบบจำลองทางคณิตศาสตร์ของระบบเพนดูลัมผกผันแบบหมุน

ในบทนี้จะนำเสนอการหาสมการพลวัต ของ ระบบเพนดูลัมผกผันแบบหมุน เพื่อนำสมการที่ได้ช่วยในการพัฒนาตัวควบคุมที่จะใช้ในการควบคุมระบบต่อไป ในบทนี้จะเริ่มด้วยการใช้ สมการลากรองจ์ ในการวิเคราะห์ ซึ่งจะได้แบบจำลองของระบบที่ไม่เป็นเชิงเส้น จากนั้นจะทำให้เป็นเชิงเส้น เพื่อความสะดวกในการใช้ออกแบบตัวควบคุมในภายหลัง

2.1 แบบจำลองของระบบแบบสัญญาณเข้าเป็นแรงบิดและไม่เป็นเชิงเส้น

จากรูปที่ 2.1 ระบบมีค่าต่าง ๆ ซึ่งมีนิยามดังตาราง 2.1 ต่อจากนี้เราจะใช้สมการลากรองจ์ หาแบบจำลองไม่เชิงเส้นของระบบ โดยเริ่มจากการพิจารณาพลังงานศักย์และพลังงานจลน์ของระบบดังนี้

พลังงานจลน์ของระบบ

พลังงานจลน์ของระบบแบ่งเป็นสามส่วน คือ

1. พลังงานจลน์ของเพนดูลัมในการหมุนรอบจุดศูนย์กลางของจานหมุน
2. พลังงานจลน์ของเพนดูลัมในการหมุนรอบจุดศูนย์กลางมวลของแท่งเพนดูลัมเอง
3. พลังงานจลน์จากการเคลื่อนที่ของจุดศูนย์กลางมวลของแท่งเพนดูลัม

จากการวิเคราะห์ข้างต้นจะได้ว่า

$$K_e = \frac{1}{2} J_0 \dot{\alpha}^2 + \frac{1}{2} J_1 \dot{\beta}^2 + \frac{1}{2} m v^2 \quad (2.1)$$

โดย v เป็นความเร็วเชิงเส้นของก้านเพนดูลัม เมื่อพิจารณาหาความเร็วของจุดศูนย์กลางมวลของแท่งเพนดูลัม จากรูปที่ 2.1 ให้จุดศูนย์กลางมวลของแท่งเพนดูลัมอยู่ที่ $l\hat{a}_r$ โดยที่

$$l\hat{a}_r = \hat{a}_z \cos \beta - \hat{a}_\alpha \sin \beta \quad (2.2)$$

พิจารณาจุด C.M. เทียบกับจุด O จะได้ว่าตำแหน่งของจุด C.M. มีค่าดังนี้

$$P_{C.M.} = \hat{a}_z \cos \beta - \hat{a}_\alpha \sin \beta + L\hat{a}_r \quad (2.3)$$

โดยที่

$$\hat{a}_\alpha = -\hat{a}_x \sin \alpha + \hat{a}_y \cos \alpha \quad (2.4)$$

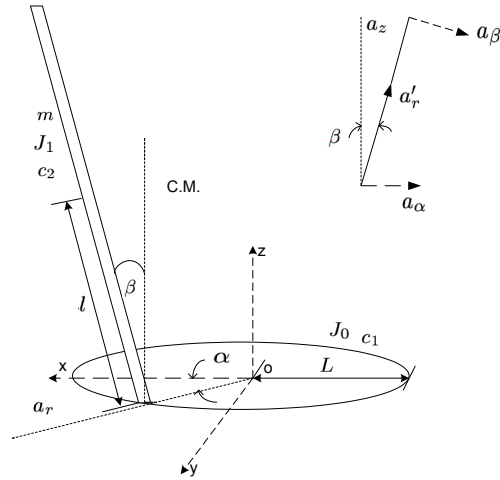
$$\hat{a}_r = \hat{a}_z \cos \alpha + \hat{a}_y \sin \alpha \quad (2.5)$$

แทนค่า \hat{a}_α และ \hat{a}_r ลงใน (2.1) จะได้พิกัดของจุดศูนย์กลางมวลของเพนดูลัม ในพิกัดคาร์ทีเซียน คือ

$$P_{C.M.} = (l \sin \beta \sin \alpha + L \cos \alpha, L \sin \alpha - l \sin \beta \cos \alpha, l \cos \beta) \quad (2.6)$$

จากตำแหน่งของจุดศูนย์กลางมวลของเพนดูลัมดังสมการ (2.6) เราสามารถหาความเร็วได้ดังต่อไปนี้

$$v_x = C\dot{M}_x = l \sin \beta \cos \alpha \dot{\alpha} + (l \cos \beta \dot{\beta} - L\dot{\alpha}) \sin \alpha \quad (2.7)$$



รูปที่ 2.1: แท่งเพนดูลัมและจานหมุน

สัญลักษณ์	ชื่อของค่าคงตัว	หน่วย
α	มุมของจานหมุนที่เปลี่ยนไป	rad
β	มุมที่เปลี่ยนไปของเพนดูลัมทำกับแกนในแนวตั้ง	rad
J_0	โมเมนต์ความเฉื่อยรอบจุดศูนย์กลางมวลของจานหมุน	$\text{kg} \cdot \text{m}^2$
J_1	โมเมนต์ความเฉื่อยรอบจุดศูนย์กลางมวลของเพนดูลัม	$\text{kg} \cdot \text{m}^2$
c_1	แรงเสียดทานของจานหมุน	$\text{N} \cdot \text{m} \cdot \text{s}$
c_2	แรงเสียดทานของก้านเพนดูลัม	$\text{N} \cdot \text{m} \cdot \text{s}$
m	มวลของเพนดูลัม	kg
l	ระยะห่างจากจานหมุนถึงจุดศูนย์กลางมวลของเพนดูลัม	m
L	รัศมีของจานหมุน	m
g	ค่านิจแรงโน้มถ่วงของโลก	m/s^2

ตารางที่ 2.1: ตัวแปรของระบบเพนดูลัมผกผันแบบหมุน

$$v_y = C\dot{M}_y = l \sin \beta \sin \alpha \dot{\alpha} - (l \cos \beta \dot{\beta} - L\dot{\alpha}) \cos \alpha \quad (2.8)$$

$$v_z = C\dot{M}_z = -l\dot{\beta} \sin \beta \quad (2.9)$$

$$v_x^2 + v_y^2 + v_z^2 = l^2 \sin^2 \beta \dot{\alpha}^2 - 2lL \cos \beta \dot{\beta} \dot{\alpha} + L^2 \dot{\alpha}^2 + l^2 \dot{\beta}^2 \quad (2.10)$$

ดังนั้น

$$\frac{1}{2}mv^2 = \frac{1}{2}ml^2 \sin^2 \beta \dot{\alpha}^2 + \frac{1}{2}mL^2 \dot{\alpha}^2 + \frac{1}{2}ml^2 \dot{\beta}^2 - mlL \cos \beta \dot{\beta} \dot{\alpha} \quad (2.11)$$

พลังงานศักย์ของระบบ

พลังงานศักย์ของระบบ

$$K_p = U = mgl \cos \beta \quad (2.12)$$

จากพลังงานจลน์และพลังงานศักย์ที่ได้ ดังสมการ(2.1) และ (2.12) เราสามารถเขียนสมการลากรองจ์ ได้ดังนี้

$$L = K_e - U \quad (2.13)$$

$$L = \frac{1}{2}J_0 \dot{\alpha}^2 + \frac{1}{2}J_1 \dot{\beta}^2 + \frac{1}{2}ml^2 \sin^2 \beta \dot{\alpha}^2 + \frac{1}{2}mL^2 \dot{\alpha}^2 + \frac{1}{2}ml^2 \dot{\beta}^2 - mlL \cos \beta \dot{\beta} \dot{\alpha} - mgl \cos \beta \quad (2.14)$$

จาก

$$\frac{d}{dt} \frac{\partial L}{\partial \dot{\theta}_i} - \frac{\partial L}{\partial \theta_i} + \frac{\partial R}{\partial \dot{\theta}_i} = Q \quad (2.15)$$

โดย R คือพลังงานที่สูญเสียไปเนื่องจากสัมประสิทธิ์แรงเสียดทานของระบบ

$$R = \frac{1}{2}c_1 \dot{\alpha}^2 + \frac{1}{2}c_2 \dot{\beta}^2 \quad (2.16)$$

พิจารณา $\theta_i = \alpha$ คำนวณหา $\frac{d}{dt} \frac{\partial L}{\partial \dot{\theta}_i}$ และ $\frac{\partial L}{\partial \theta_i}$ โดยที่ แรงบิดมีผลให้เกิดขึ้นเมื่อ α เปลี่ยนไป แทนลงในสมการลากรองจ์ คือ สมการที่ (2.15) จะได้สมการ (2.17) จากนั้นพิจารณา $\theta_i = \beta$ คำนวณหา $\frac{d}{dt} \frac{\partial L}{\partial \dot{\theta}_i}$ และ $\frac{\partial L}{\partial \theta_i}$ แทนลงในสมการลากรองจ์ (2.18) แบบจำลองของระบบเป็นดังนี้

$$p_{11}\ddot{\alpha} + p_{12}\ddot{\beta} + q_1 = \tau \quad (2.17)$$

$$p_{12}\ddot{\alpha} + p_{22}\ddot{\beta} + q_2 = 0 \quad (2.18)$$

โดยที่

$$p_{11} = J_0 + mL^2 + \frac{1}{2}ml^2 (1 - \cos(2\beta)) \quad (2.19)$$

$$p_{12} = -mLl \cos \beta \quad (2.20)$$

$$p_{22} = J_1 + ml^2 \quad (2.21)$$

$$q_1 = c_1 \dot{\alpha} + ml^2 \sin(2\beta) \dot{\alpha} \dot{\beta} + mLl \dot{\beta}^2 \sin \beta \quad (2.22)$$

$$q_2 = c_2 \dot{\beta} - \frac{1}{2}ml^2 \sin(2\beta) \dot{\alpha}^2 - mgl \sin \beta \quad (2.23)$$

2.2 ของระบบแบบสัญญาณขาเข้าเป็นแรงบิดและเป็นแบบเชิงเส้น

จากสมการ (2.17) และ (2.18) จะทำการแปลงแบบจำลองไม่เชิงเส้นให้เป็นแบบเชิงเส้นเพื่อความสะดวกในการออกแบบตัวควบคุมต่อไป โดยในที่นี้จะแปลงให้เป็นเชิงเส้นรอบจุดที่แท่งเพนดูลัมมันต์ตั้งได้ นั่นคือจุดที่ $\beta =$

0 โดยการประมาณให้ $\dot{\alpha}^2 \approx 0$, $\cos \beta \approx 1$, $\sin \beta \approx \beta$ จะได้สมการ

$$(J_0 + mL^2)\ddot{\alpha} - mL\ddot{\beta} + c_1\dot{\alpha} = \tau \quad (2.24)$$

$$-mL\ddot{\alpha} + (J_1 + ml^2)\ddot{\beta} + c_2\dot{\beta} - mlg\beta = 0 \quad (2.25)$$

กำหนดตัวแปรสถานะ $x = [\alpha \ \beta \ \dot{\alpha} \ \dot{\beta}]^T$ จากสมการ (2.24) และ (2.25) เขียนให้อยู่ในรูปสมการสถานะ จะได้ว่า

$$E\dot{x} = Fx + Gu \quad (2.26)$$

โดยที่

$$E = \begin{bmatrix} 1 & 0 & 0 & 0 \\ 0 & 1 & 0 & 0 \\ 0 & 0 & J_0 + mL^2 & -mL \\ 0 & 0 & -mL & J_1 + ml^2 \end{bmatrix} \quad (2.27)$$

$$F = \begin{bmatrix} 0 & 0 & 1 & 0 \\ 0 & 0 & 0 & 1 \\ 0 & 0 & -c_1 & 0 \\ 0 & mgl & 0 & -c_2 \end{bmatrix} \quad (2.28)$$

$$G = \begin{bmatrix} 0 & 0 & 1 & 0 \end{bmatrix} \quad (2.29)$$

จะได้สมการสถานะของระบบ คือ

$$\dot{x} = E^{-1}Fx + E^{-1}Gu \quad (2.30)$$

โดยเมทริกซ์ E จะต้องมีดีเทอร์มิแนนต์ไม่เท่ากับ 0 เพื่อให้สามารถหาเมทริกซ์ผกผันของเมทริกซ์ E ได้ โดยที่

$$A = E^{-1}F = \begin{bmatrix} 0 & 0 & 1 & 0 \\ 0 & 0 & 0 & 1 \\ 0 & \frac{m^2l^2L}{g(J_0J_1 + J_0ml^2 + mL^2J_1)} & \frac{-(J_1 + ml^2)}{c_1(J_0J_1 + J_0ml^2 + mL^2J_1)} & \frac{mL}{c_2(J_0J_1 + J_0ml^2 + mL^2J_1)} \\ 0 & \frac{J_0 + mL^2}{mgl(J_0J_1 + J_0ml^2 + mL^2J_1)} & \frac{mL}{c_1(J_0J_1 + J_0ml^2 + mL^2J_1)} & \frac{-(J_0 + mL^2)}{c_2(J_0J_1 + J_0ml^2 + mL^2J_1)} \end{bmatrix} \quad (2.31)$$

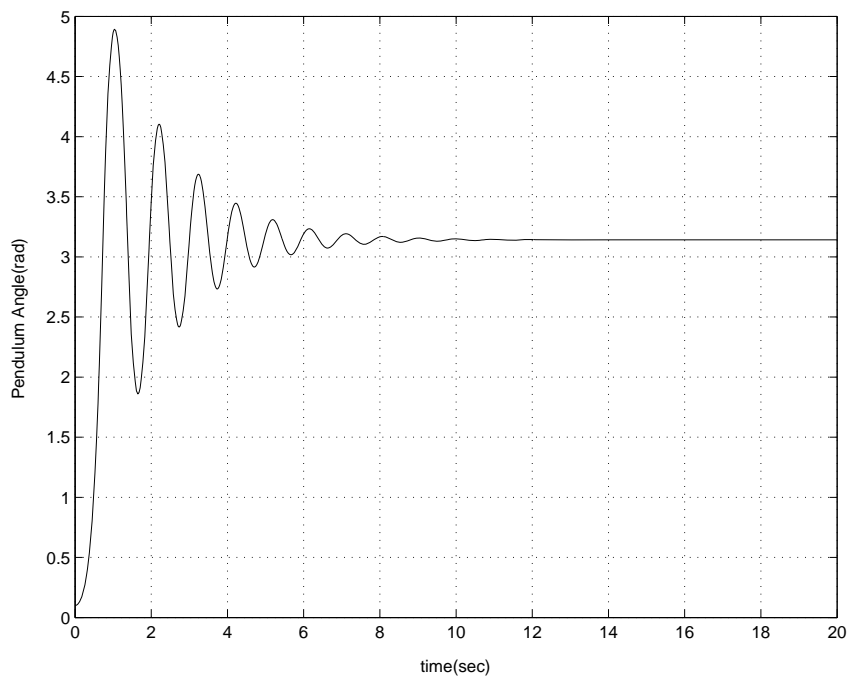
$$B = E^{-1}G = \begin{bmatrix} 0 \\ 0 \\ \frac{(J_1 + ml^2)}{(J_0J_1 + J_0ml^2 + mL^2J_1)} \\ \frac{mL}{(J_0J_1 + J_0ml^2 + mL^2J_1)} \end{bmatrix} \quad (2.32)$$

เมื่อทำการจำลองระบบแบบไม่เชิงเส้นในโปรแกรม MATLAB จะได้ผลตอบสนอง ดังรูปที่ 2.2(ก) ซึ่ง จะเห็นว่าผลการจำลองระบบสอดคล้องกับความเป็นจริง กล่าวคือ เมื่อกระตุ้นระบบด้วยแรงบิด ตัวเพนดูลัมจะแกว่งไปมาจนเข้าสู่สภาวะอยู่ตัวที่ค่า π rad ซึ่งคือตำแหน่งแนวตั้งนั่นเอง และเมื่อทำการจำลองแบบจำลองแบบเชิงเส้นจะได้ผลตามรูปที่ 2.2(ข) ซึ่งจะเห็นได้ว่าเมื่อเวลาผ่านไป มุมของแท่งเพนดูลัมจะมีค่าเพิ่มเข้าสู่นั้นๆ นั้น แสดงว่าการควบคุมระบบที่ประมาณให้เป็นเชิงเส้นนั้นจะทำได้แค่เพียงมุมเล็กๆค่าหนึ่งเท่านั้น

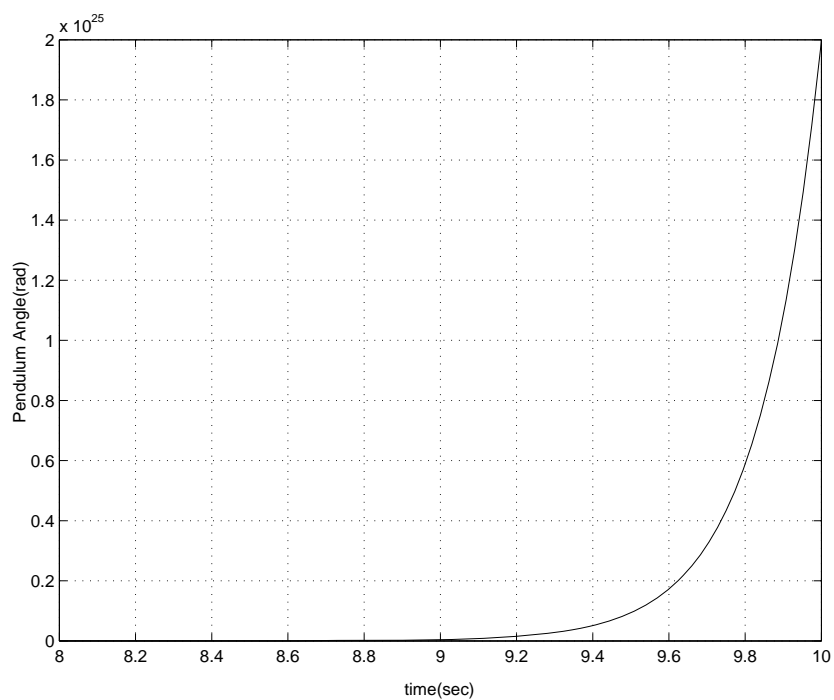
2.3 เพนดูลัมผกผันคู่แบบหมุน

ลักษณะและพลวัตของระบบ

เพนดูลัมผกผัน (inverted pendulum) เป็นอุปกรณ์ที่ใช้อย่างแพร่หลายในการสาธิตการประยุกต์ใช้ทฤษฎีควบคุม จุดประสงค์ในการ ออกแบบตัวควบคุมคือรักษาสมดุลของแท่งเพนดูลัมให้ตั้งในแนวตั้ง โดยอาศัย

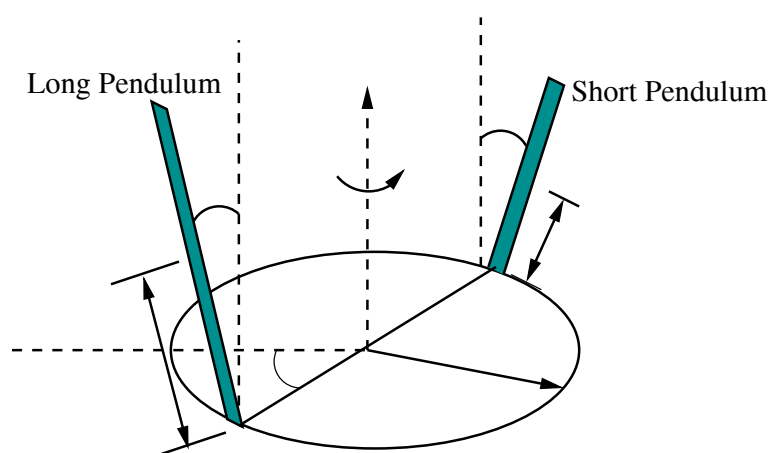


(ก) กราฟแสดงผลตอบสนองทางเวลาสำหรับระบบไม่เชิงเส้น



(ข) กราฟแสดงผลตอบสนองทางเวลาสำหรับระบบเชิงเส้น

รูปที่ 2.2: กราฟแสดงผลตอบสนองทางเวลาสำหรับระบบ (ก) ไม่เชิงเส้น; (ข) เชิงเส้น



รูปที่ 2.3: ระบบเพนดูลัมผกผันคู่แบบหมุน

การสร้างแรงที่บริเวณฐานของแท่งเพนดูลัม เพนดูลัมผกผันที่ใช้ในช่วงแรก คือเพนดูลัมผกผันบนรถ (cart pendulum) ซึ่งฐานของเพนดูลัมจะติดอยู่บนรถและอาศัยการเคลื่อนที่ของรถในการรักษาสมดุลของเพนดูลัม อย่างไรก็ตาม เพนดูลัมรูปแบบนี้มีข้อจำกัดในทางปฏิบัติเกี่ยวกับระยะทางที่รถต้องใช้ในการเคลื่อนที่ ด้วยเหตุผลดังกล่าว จึงมีการพัฒนารูปแบบเป็นเพนดูลัมผกผันแบบ หมุน (rotary inverted pendulum) ขึ้น สำหรับเพนดูลัมผกผันแบบหมุนฐานของแท่งเพนดูลัมจะติดบนจานหมุนและอาศัยการหมุนของจานหมุนในการรักษา สมดุลของแท่งเพนดูลัม ดังนั้นเพนดูลัมรูปแบบนี้จึงไม่มีข้อจำกัดเกี่ยวกับระยะการเคลื่อนที่

ในงานวิจัยนี้เราพิจารณาเพนดูลัมผกผันคู่แบบหมุน (rotary double inverted pendulum) ซึ่งประกอบด้วยแท่งเพนดูลัมสองแท่งที่มีความยาวแตกต่างกัน และตั้งอยู่ในตำแหน่งตรงกันข้ามบนจานหมุนดังแสดงในรูปที่ 2.3 เพนดูลัมผกผันรูปแบบนี้จะมีความยากในการควบคุม มากกว่าเพนดูลัมผกผันแบบเดี่ยว เนื่องจากจานหมุนต้องหมุนเพื่อรักษาสมดุลของแท่งเพนดูลัมสองแท่งพร้อมๆกัน ขณะที่เพนดูลัมผกผันแบบเดี่ยวจะรักษา สมดุลของแท่งเพนดูลัมเพียงแท่งเดียวเท่านั้น

จากรูปที่ 2.3 กำหนดให้ α คือการกระจัดเชิงมุมของจานหมุน (หน่วยเป็น rad), β_1 และ β_2 คือมุมของเพนดูลัมแท่งยาวและแท่งสั้นเทียบกับแกนแนวตั้ง (rad) และ τ คือ แรงบิด (torque) ที่กระทำต่อจานหมุน (N·m) ในการควบคุมเราใช้มอเตอร์กระแสตรง เป็นตัวขับเคลื่อน (actuator) สำหรับสร้างแรงบิดให้กับจานหมุน จุดประสงค์ของเราคือการควบคุมการเคลื่อนที่ของจานหมุนเพื่อรักษาสมดุลของ แท่งเพนดูลัมทั้งสองแท่ง เมื่อมุมเบี่ยงเบนเริ่มต้นมีค่าไม่เท่ากับศูนย์ ส่วนค่าพารามิเตอร์ต่างๆของระบบแสดงในตารางที่ 2.2

สมการการเคลื่อนที่ (equation of motion) ของระบบสามารถอธิบายได้ดังนี้

$$\begin{pmatrix} P_{11} & P_{12} & P_{13} \\ P_{21} & P_{22} & P_{23} \\ P_{31} & P_{32} & P_{33} \end{pmatrix} \begin{pmatrix} \ddot{\alpha} \\ \ddot{\beta}_1 \\ \ddot{\beta}_2 \end{pmatrix} + \begin{pmatrix} p'_1 \\ p'_2 \\ p'_3 \end{pmatrix} = \begin{pmatrix} \tau \\ 0 \\ 0 \end{pmatrix} \quad (2.33)$$

ตารางที่ 2.2: ค่าพารามิเตอร์ของเพนดูลัมผกผันคู่แบบหมุน

พารามิเตอร์	สัญลักษณ์	ค่าที่ใช้	หน่วย
โมเมนต์ความเฉื่อยของจานหมุน	J_0	0.06	kg-m ²
โมเมนต์ความเฉื่อยของเพนดูลัมแท่งยาว	J_1	0.1	kg-m ²
โมเมนต์ความเฉื่อยของเพนดูลัมแท่งสั้น	J_2	1.915×10^{-3}	kg-m ²
สัมประสิทธิ์ความเสียดทานของจานหมุน	c_0	0.004	N-m-s
สัมประสิทธิ์ความเสียดทานของเพนดูลัมแท่งยาว	c_1	0.003	N-m-s
สัมประสิทธิ์ความเสียดทานของเพนดูลัมแท่งสั้น	c_2	0.0009	N-m-s
มวลของเพนดูลัมแท่งยาว	m_1	1	kg
มวลของเพนดูลัมแท่งสั้น	m_2	0.13	kg
ระยะจากจุดหมุนถึงจุดศูนย์กลางมวลของเพนดูลัมแท่งยาว	l_1	0.3	m
ระยะจากจุดหมุนถึงจุดศูนย์กลางมวลของเพนดูลัมแท่งสั้น	l_2	0.19	m
รัศมีจานหมุน	L	0.5	m
ค่าคงที่แรงโน้มถ่วง	g	9.781	m/s

โดยที่

$$\begin{aligned}
 P_{11} &= J_0 + m_1 l_1^2 \sin^2 \beta_1 + m_1 L^2 + m_2 l_2^2 \sin^2 \beta_2 + m_2 L^2 \\
 P_{12} &= -m_1 l_1 L \cos \beta_1, \quad P_{13} = -m_2 l_2 L \cos \beta_2 \\
 P_{21} &= -m_1 l_1 L \cos \beta_1, \quad P_{22} = J_1 + m_1 l_1^2 \\
 P_{23} &= 0, \quad P_{31} = -m_2 l_2 L \cos \beta_2 \\
 P_{32} &= 0, \quad P_{33} = J_2 + m_2 l_2^2
 \end{aligned} \tag{2.34}$$

$$\begin{aligned}
 p'_1 &= m_1 l_1^2 \dot{\beta}_1 \dot{\alpha} \sin(2\beta_1) + m_2 l_2^2 \dot{\beta}_2 \dot{\alpha} \sin(2\beta_2) + m_1 l_1 L \dot{\beta}_1^2 \sin \beta_1 + m_2 l_2 L \dot{\beta}_2^2 \sin \beta_2 + c_0 \dot{\alpha} \\
 p'_2 &= -m_1 l_1^2 \dot{\alpha}^2 \sin \beta_1 \cos \beta_1 - m_1 g l_1 \sin \beta_1 + c_1 \dot{\beta}_1 \\
 p'_3 &= -m_2 l_2^2 \dot{\alpha}^2 \sin \beta_2 \cos \beta_2 - m_2 g l_2 \sin \beta_2 + c_2 \dot{\beta}_2
 \end{aligned} \tag{2.35}$$

แบบจำลองเชิงเส้นที่เปลี่ยนตามพารามิเตอร์

ในการสร้างแบบจำลองเชิงเส้นที่เปลี่ยนตามพารามิเตอร์ เราจะอาศัยแนวคิดของระบบกึ่งเชิงเส้นที่เปลี่ยนตามพารามิเตอร์ (quasi linear parameter varying, quasi-LPV) อย่างไรก็ตามเทอมที่ไม่เป็นเชิงเส้นบางส่วนใน (2.34) และ (2.35) จะถูกประมาณเป็นเชิงเส้นรอบๆจุด $\beta_1 = \beta_2 = 0$ เพื่อทำการลดจำนวนเทอมไม่เป็นเชิงเส้น ที่ต้องนิยามเป็นพารามิเตอร์แปรตามเวลาไม่ให้มีจำนวนมากเกินไป ในที่นี้เรากำหนดให้

$$\begin{aligned}
 \delta_1 &= m_1 l_1 L \dot{\beta}_1 \sin \beta_1, \quad \delta_2 = m_2 l_2 L \dot{\beta}_2 \sin \beta_2 \\
 \delta_3 &= \frac{1}{2} m_1 l_1^2 \dot{\alpha} \sin(2\beta_1), \quad \delta_4 = \frac{1}{2} m_2 l_2^2 \dot{\alpha} \sin(2\beta_2)
 \end{aligned} \tag{2.36}$$

เมื่อแทนกลับเข้าไปใน (2.35) เราได้ว่า

$$\begin{aligned}
 p'_1 &= 2\delta_3 \dot{\beta}_1 + 2\delta_4 \dot{\beta}_2 + \delta_1 \dot{\beta}_1 + \delta_2 \dot{\beta}_2 + c_0 \dot{\alpha} \\
 p'_2 &= -\delta_3 \dot{\alpha} - m_1 g l_1 \sin \beta_1 + c_1 \dot{\beta}_1 \\
 p'_3 &= -\delta_4 \dot{\alpha} - m_2 g l_2 \sin \beta_2 + c_2 \dot{\beta}_2
 \end{aligned}$$

ทำการประมาณเทอม $\sin \beta_1$ และ $\sin \beta_2$ รอบจุด $\beta_1 = \beta_2 = 0$ เราได้ว่า

$$\begin{aligned} p'_2 &\approx -\delta_3 \dot{\alpha} - m_1 g l_1 \beta_1 + c_1 \dot{\beta}_1 \\ p'_3 &\approx -\delta_4 \dot{\alpha} - m_2 g l_2 \beta_2 + c_2 \dot{\beta}_2 \end{aligned}$$

พิจารณาเทอม P_{11} , P_{12} และ P_{13} ใน (2.34) เมื่อทำการประมาณเป็นเชิงเส้นรอบ $\beta_1 = \beta_2 = 0$ เราได้ว่า

$$\begin{aligned} P_{11} &\approx J_0 + m_1 L^2 + m_2 L^2 \\ P_{12} &\approx -m_1 l_1 L, \quad P_{13} \approx -m_2 l_2 L \end{aligned} \quad (2.37)$$

เมื่อกำหนดให้ตัวแปรสถานะของระบบ $x^T = (\alpha \quad \beta_1 \quad \beta_2 \quad \dot{\alpha} \quad \dot{\beta}_1 \quad \dot{\beta}_2)$ เราได้แบบจำลองเชิงเส้นที่เปลี่ยนตามพารามิเตอร์ \mathcal{M}_1 คือ

$$\begin{aligned} \frac{d}{dt} \begin{pmatrix} 1 & 0 & 0 & 0 & 0 & 0 \\ 0 & 1 & 0 & 0 & 0 & 0 \\ 0 & 0 & 1 & 0 & 0 & 0 \\ 0 & 0 & 0 & J_0 + m_1 L^2 + m_2 L^2 & -m_1 l_1 L & -m_2 l_2 L \\ 0 & 0 & 0 & -m_1 l_1 L & J_1 + m_1 l_1^2 & 0 \\ 0 & 0 & 0 & -m_2 l_2 L & 0 & J_2 + m_2 l_2^2 \end{pmatrix} \begin{pmatrix} \alpha \\ \beta_1 \\ \beta_2 \\ \dot{\alpha} \\ \dot{\beta}_1 \\ \dot{\beta}_2 \end{pmatrix} &= \\ \begin{pmatrix} 0 & 0 & 0 & 1 & 0 & 0 \\ 0 & 0 & 0 & 0 & 1 & 0 \\ 0 & 0 & 0 & 0 & 0 & 1 \\ 0 & 0 & 0 & -c_0 & -(\delta_1 + 2\delta_3) & -(\delta_2 + 2\delta_4) \\ 0 & m_1 g l_1 & 0 & \delta_3 & -c_1 & 0 \\ 0 & 0 & m_2 g l_2 & \delta_4 & 0 & -c_2 \end{pmatrix} \begin{pmatrix} \alpha \\ \beta_1 \\ \beta_2 \\ \dot{\alpha} \\ \dot{\beta}_1 \\ \dot{\beta}_2 \end{pmatrix} + \begin{pmatrix} 0 \\ 0 \\ 0 \\ 1 \\ 0 \\ 0 \end{pmatrix} \tau & \quad (2.38) \end{aligned}$$

อย่างไรก็ตามเราสามารถสร้างแบบจำลองเชิงเส้นที่เปลี่ยนตามพารามิเตอร์ในรูปแบบอื่นได้อีก โดยนิยามพารามิเตอร์แปรตามเวลาในรูปแบบที่แตกต่างกัน ในกรณีที่เรากำหนดให้พารามิเตอร์แปรตามเวลา δ_5 มีค่าดังนี้

$$\delta_5 = m_1 l_1^2 \dot{\beta}_1 \sin(2\beta_1) + m_2 l_2^2 \dot{\beta}_2 \sin(2\beta_2) \quad (2.39)$$

เราได้ว่าเทอม p'_1 สามารถแสดงได้ในอีกรูปแบบหนึ่งคือ

$$p'_1 = \delta_5 \dot{\alpha} + \delta_1 \dot{\beta}_1 + \delta_2 \dot{\beta}_2 + c_0 \dot{\alpha} \quad (2.40)$$

จากการนิยามพารามิเตอร์ในรูปแบบดังกล่าว เราได้แบบจำลองเชิงเส้นที่เปลี่ยนตามพารามิเตอร์ \mathcal{M}_2 คือ

$$\frac{d}{dt} \begin{pmatrix} 1 & 0 & 0 & 0 \\ 0 & 1 & 0 & 0 \\ 0 & 0 & 1 & 0 \\ 0 & 0 & 0 & J_0 + m_1 L^2 + m_2 L^2 \\ 0 & 0 & 0 & -m_1 l_1 L \\ 0 & 0 & 0 & -m_2 l_2 L \end{pmatrix} \begin{pmatrix} \alpha \\ \beta_1 \\ \beta_2 \\ \dot{\alpha} \\ \dot{\beta}_1 \\ \dot{\beta}_2 \end{pmatrix} = \begin{pmatrix} 0 & 0 & 0 & 1 & 0 & 0 \\ 0 & 0 & 0 & 0 & 1 & 0 \\ 0 & 0 & 0 & 0 & 0 & 1 \\ 0 & 0 & 0 & -(c_0 + \delta_5) & -\delta_1 & -\delta_2 \\ 0 & m_1 g l_1 & 0 & \delta_3 & -c_1 & 0 \\ 0 & 0 & m_2 g l_2 & \delta_4 & 0 & -c_2 \end{pmatrix} \begin{pmatrix} \alpha \\ \beta_1 \\ \beta_2 \\ \dot{\alpha} \\ \dot{\beta}_1 \\ \dot{\beta}_2 \end{pmatrix} + \begin{pmatrix} 0 \\ 0 \\ 0 \\ 1 \\ 0 \\ 0 \end{pmatrix} \tau \quad (2.41)$$

ถ้าเราแยกเทอมที่บวกกันในพารามิเตอร์ δ_5 ออกเป็น $\delta_5 = \delta_6 + \delta_7$ โดยที่

$$\delta_6 = m_1 l_1^2 \dot{\beta}_1 \sin(2\beta_1), \quad \delta_7 = m_2 l_2^2 \dot{\beta}_2 \sin(2\beta_2) \quad (2.42)$$

เราได้แบบจำลองเชิงเส้นที่เปลี่ยนตามพารามิเตอร์ \mathcal{M}_3 คือ

$$\frac{d}{dt} \begin{pmatrix} 1 & 0 & 0 & 0 \\ 0 & 1 & 0 & 0 \\ 0 & 0 & 1 & 0 \\ 0 & 0 & 0 & J_0 + m_1 L^2 + m_2 L^2 \\ 0 & 0 & 0 & -m_1 l_1 L \\ 0 & 0 & 0 & -m_2 l_2 L \end{pmatrix} \begin{pmatrix} \alpha \\ \beta_1 \\ \beta_2 \\ \dot{\alpha} \\ \dot{\beta}_1 \\ \dot{\beta}_2 \end{pmatrix} = \begin{pmatrix} 0 & 0 & 0 & 1 & 0 & 0 \\ 0 & 0 & 0 & 0 & 1 & 0 \\ 0 & 0 & 0 & 0 & 0 & 1 \\ 0 & 0 & 0 & -(c_0 + \delta_6 + \delta_7) & -\delta_1 & -\delta_2 \\ 0 & m_1 g l_1 & 0 & \delta_3 & -c_1 & 0 \\ 0 & 0 & m_2 g l_2 & \delta_4 & 0 & -c_2 \end{pmatrix} \begin{pmatrix} \alpha \\ \beta_1 \\ \beta_2 \\ \dot{\alpha} \\ \dot{\beta}_1 \\ \dot{\beta}_2 \end{pmatrix} + \begin{pmatrix} 0 \\ 0 \\ 0 \\ 1 \\ 0 \\ 0 \end{pmatrix} \tau \quad (2.43)$$

จากแนวทางที่ได้แสดงมาเห็นได้ว่าแบบจำลองเชิงเส้นที่เปลี่ยนตามพารามิเตอร์ สามารถมีได้มากกว่าหนึ่งรูปแบบขึ้นอยู่กับกรณิยามพารามิเตอร์แปรตามเวลาของระบบ เนื่องจากพารามิเตอร์แปรตามเวลาจะทำหน้าที่ในการปรับพลวัตของตัวควบคุมเชิงเส้นที่เปลี่ยนตามพารามิเตอร์ การนิยามพารามิเตอร์แปรตามเวลาที่แตกต่างกันจึงมักจะทำให้ผลการควบคุมที่แตกต่างกันด้วย ในอนาคตเราจะแสดงผลของการเลือกใช้แบบจำลองในการออกแบบตัวควบคุมที่มีต่อลักษณะผลตอบของระบบ

บทที่ 3

การออกแบบระบบควบคุม

ระบบเพนดูลัมผกผันแบบหมุนเป็นระบบที่มีความไม่เป็นเชิงเส้นมากและมีตัวแปรที่เราต้องการควบคุม และสัญญาณขาเข้าหลายตัว การควบคุมระบบด้วยวิธี PID จึงให้ผลตอบสนองที่ไม่ค่อยดีนัก ในที่นี้จึงได้นำเสนอวิธีการควบคุมที่เรียกว่า Optimal Control โดยจากแบบจำลองของระบบที่ได้จากที่แสดงไปแล้วข้างต้น และพารามิเตอร์ของระบบที่ได้จากการหาเอกลักษณ์ของระบบ พารามิเตอร์ที่ได้จากการหาเอกลักษณ์ของระบบมีค่าดังตาราง 2.1 ในที่นี้แสดงการออกแบบระบบควบคุมของสองแบบจำลอง ได้แก่ แบบจำลองที่มีแรงบิดเป็นสัญญาณขาเข้าก่อน และแบบจำลองที่มีความเร็วเชิงเส้นของงานหมุนเป็นสัญญาณขาเข้า ดังต่อไปนี้

3.1 แบบจำลองที่มีแรงบิดเป็นสัญญาณขาเข้า

Optimal Control

ระบบเพนดูลัมแบบผกผันมีแบบจำลองคณิตศาสตร์ที่แปลงให้อยู่ในรูปเชิงเส้นแล้วดังนี้

$$\dot{x} = Ax + Bu \quad (3.1)$$

$$y = Cx + Du \quad (3.2)$$

โดยที่ $x = [\alpha, \beta, \dot{\alpha}, \dot{\beta}]^T$ (3.3)

$$u = \tau \quad (3.4)$$

และ $A = \begin{bmatrix} 0.0000 & 0.0000 & 1.0000 & 0.0000 \\ 0.0000 & 0.0000 & 0.0000 & 1.0000 \\ 0.0000 & 0.0000 & -3.5019 & 14.4011 \\ -0.0222 & 0.0061 & 0.0248 & -0.1020 \end{bmatrix}$ (3.5)

$$B = \begin{bmatrix} 0.0000 \\ 0.0000 \\ 55.4589 \\ -15.2122 \end{bmatrix} \quad (3.6)$$

$$C = I_{4 \times 4} \quad (3.7)$$

$$D = \begin{bmatrix} 0.0000 \end{bmatrix} \quad (3.8)$$

$$\text{ตำแหน่งขั้วของระบบ}(P) = \begin{bmatrix} 0 \\ -3.8470 \\ 3.7435 \\ -0.0207 \end{bmatrix} \quad (3.9)$$

จากระบบเป็นระบบอันดับสี่ เราสามารถหาเมตริกค่าคงที่ในการป้อนกลับ (K) ได้หลายวิธี ในที่นี้จะขอเสนอวิธีการ LQR (linear quadratic regulator) โดยกำหนดเมตริก Q และ R แล้วใช้คำสั่ง LQR ในโปรแกรม MATLAB เพื่อหาเมตริก ค่าคงที่ในการป้อนกลับ (K) ที่ดีที่สุดที่สอดคล้องกับเมตริก Q และนำผลที่ได้ไปจำลองโดยใช้คำสั่งใน M-File ดังนี้

Matlab Code

```

clear;
clc;
%PARAMETER
syms J1 J0 m g l L J1 c1 c2 real;
m=0.058;
g=9.8;
l=0.405;
L=0.2;
J1=0.007614;
J0=0.017;
c1=0.0004;
c2=0.001631;
%LQR
E =[1 0 0 0;0 1 0 0;0 0 J0+m*(L2) m*1*L;0 0 m*1*L J1+m*(l2)];
F =[0 0 1 0;0 0 0 1;0 0 -c1 0;0 m*g*1 0 -c2];
G =[0;0;1;0];
A = inv(E)*F;
B = inv(E)*G;
C = [1 0 0 0;
0 1 0 0;
0 0 1 0;
0 0 0 1];
D = [0];
x=100000000;
y=100000;
Q=[x 0 0 0;
0 y 0 0;
0 0 0 0;
0 0 0 0];
R=10;
K = lqr(A,B,Q,R);
Ac = [(A-B*K)];
Bc = [B];
Cc = [C];
Dc = [D];
%PLOT
T=0:0.01:100;

```

```

U=1*ones(size(T));
[Y, X] = lsim(Ac,Bc,Cc,Dc,U,T);

subplot(2,2,1); plot(T,Y(:,1))
title('Plate Angle')
axis([0 5 -1e-3 1e-3])

subplot(2,2,2); plot(T,Y(:,2))
title('Pendulum Angle')
axis([0 5 -1e-3 1e-3])

subplot(2,2,3); plot(T,Y(:,3))
title('Plate Angular Velocity')
axis([0 5 -1e-3 1e-3])

subplot(2,2,4); plot(T,Y(:,4))
title('Pendulum Angular Velocity')
axis([0 5 -1e-3 1e-3])

```

จากคำสั่งใน M-File เราได้ปรับค่า Q และ R ให้ได้ผลตอบสนองที่ดีที่สุด โดยเราเลือกให้

$$Q = \begin{bmatrix} 10^8 & 0 & 0 & 0 \\ 0 & 10^5 & 0 & 0 \\ 0 & 0 & 0 & 0 \\ 0 & 0 & 0 & 0 \end{bmatrix}, \quad R = 10 \quad (3.10)$$

$$\text{จะได้} \quad K = [-3162 \quad -23956 \quad -1758 \quad 6450] \quad (3.11)$$

ผลตอบสนองหลังจากควบคุม

หลังจากควบคุมด้วยวิธี LQR แล้วจะได้ระบบใหม่ที่มีค่าคงตัวเป็นดังนี้

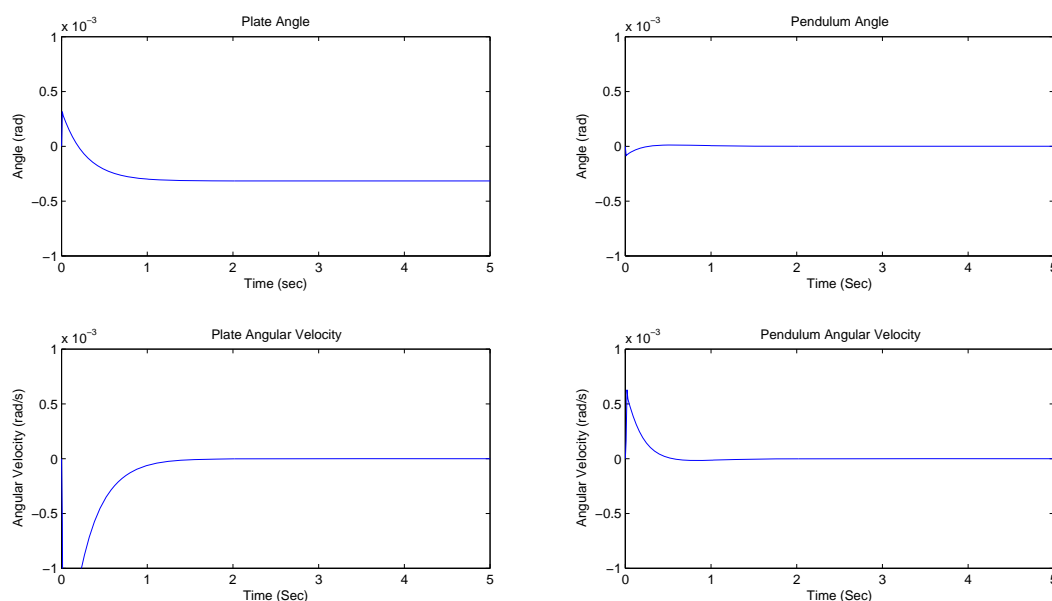
$$A = 10^6 \times \begin{bmatrix} 0.0000 & 0.0000 & 0.0000 & 0.0000 \\ 0.0000 & 0.0000 & 0.0000 & 0.0000 \\ 0.1754 & -0.0481 & 1.3285 & -0.3644 \\ -0.0975 & -0.0267 & 0.3577 & -0.0981 \end{bmatrix}, \quad B = \begin{bmatrix} 0.0000 \\ 0.0000 \\ 55.4589 \\ -15.2122 \end{bmatrix} \quad (3.12)$$

$$C = I_{4 \times 4}, \quad D = [0] \quad (3.13)$$

ซึ่งมีขั้วของระบบเป็น

$$P = [-2.9613 + 2.9613i, -2.9613 - 2.9613i, -0.0371, -0.0362]^T \quad (3.14)$$

และได้ผลตอบสนองต่อฟังก์ชัน ขั้วบันไดขนาด 1 rad เริ่มที่เวลา 0 s ดังนี้



รูปที่ 3.1: แสดงผลตอบเชิงเวลาของระบบที่มีสัญญาณขาเข้าเป็นแรงบิดภายใต้การควบคุมแบบ LQR ต่อฟังก์ชันขั้นบันไดขนาด 1 rad เริ่มที่เวลา 0 s

3.2 แบบจำลองที่มีความเร็วเชิงมุมของจานหมุนเป็นสัญญาณขาเข้า

มีพารามิเตอร์ของระบบที่ได้จากการหาเอกลักษณ์ของระบบดังนี้

$$A = \begin{bmatrix} 0 & 1 \\ 13.4405 & -0.0952 \end{bmatrix} \quad B = \begin{bmatrix} 0 \\ 0.2743 \end{bmatrix} \quad (3.15)$$

$$C = I_{4 \times 4} \quad D = [0] \quad (3.16)$$

จากระบบเป็นระบบอันดับสองเราสามารถหาค่าคงที่ในการป้อนกลับ K ได้โดยวิธีการ LQR ดังที่ได้นำเสนอไปก่อนหน้านี้แล้ว โดยใช้คำสั่งใน M-File ดังนี้

Matlab Code

```
clear;
clc;
%PARAMETER
syms J1 J0 m g l L J1 c1 c2 real;
m=0.058;
g=9.8;
l=0.405;
L=0.2;
J1=0.007614;
J0=0.017;
c1=0.0004;
c2=0.001631;
%LQR
```

```
A = [0 1; (m*g*1)/(J1+m*(l2)) -c2/(J1+m*(l2))];
```

```
B = [0; (m*1*L)/(J1+m*(l2))];
```

```
C = [1 0;
```

```
0 1];
```

```
D = [0];
```

```
x=10000000;
```

```
y=1000; Q=[x 0;
```

```
0 y];
```

```
R=10;
```

```
K = lqr(A,B,Q,R);
```

```
Ac = [(A-B*K)];
```

```
Bc = [B];
```

```
Cc = [C];
```

```
Dc = [D];
```

```
%PLOT
```

```
T=0:0.01:100;
```

```
U=1*ones(size(T));
```

```
[Y, X]=lsim(Ac,Bc,Cc,Dc,U,T);
```

```
subplot(2,1,1); plot(T,Y(:,1))
```

```
title('Pendulum Angle')
```

```
axis([0 2 -1 1])
```

```
subplot(2,1,2); plot(T,Y(:,2))
```

```
title('Pendulum Angular Velocity')
```

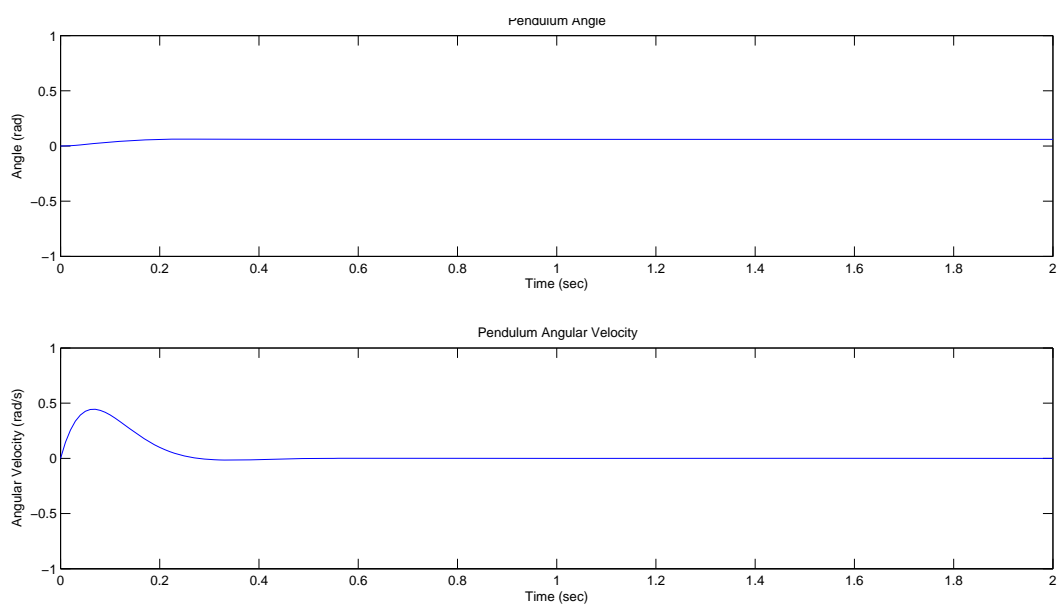
```
axis([0 2 -1 1])
```

จากคำสั่งใน M-File เราได้ปรับค่า Q และ R ให้ได้ผลตอบสนองที่ดีที่สุด จากการเลือกค่า Q และ R ได้ค่า K ดังนี้

$$Q = \begin{bmatrix} 10^7 & 0 \\ 0 & 10^3 \end{bmatrix}, \quad R = 10 \quad (3.17)$$

$$K = [1050.2, 87.7] \quad (3.18)$$

ผลตอบสนองจากการควบคุม

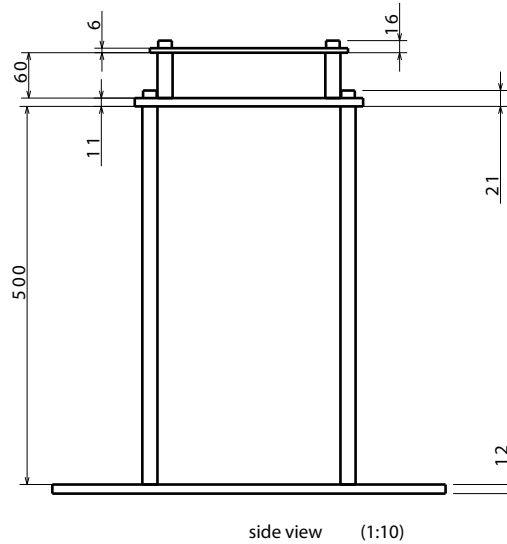


รูปที่ 3.2: แสดงผลตอบเชิงเวลาของระบบที่มีสัญญาณเข้าเป็นความเร็วเชิงมุมของจานหมุนภายใต้การควบคุมแบบ LQR ต่อฟังก์ชันขั้นบันไดขนาด 1 rad เริ่มที่เวลา 0 s

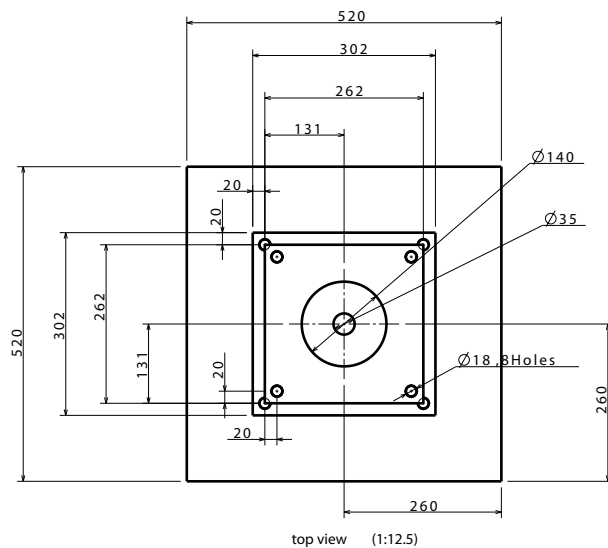
บทที่ 4

วงจรประยุกต์ของระบบเพนดูลัมผกผันแบบหมุน

4.1 โครงสร้าง



รูปที่ 4.1: มิติด้านข้างของแท่งวางของระบบเพนดูลัมผกผันแบบหมุน

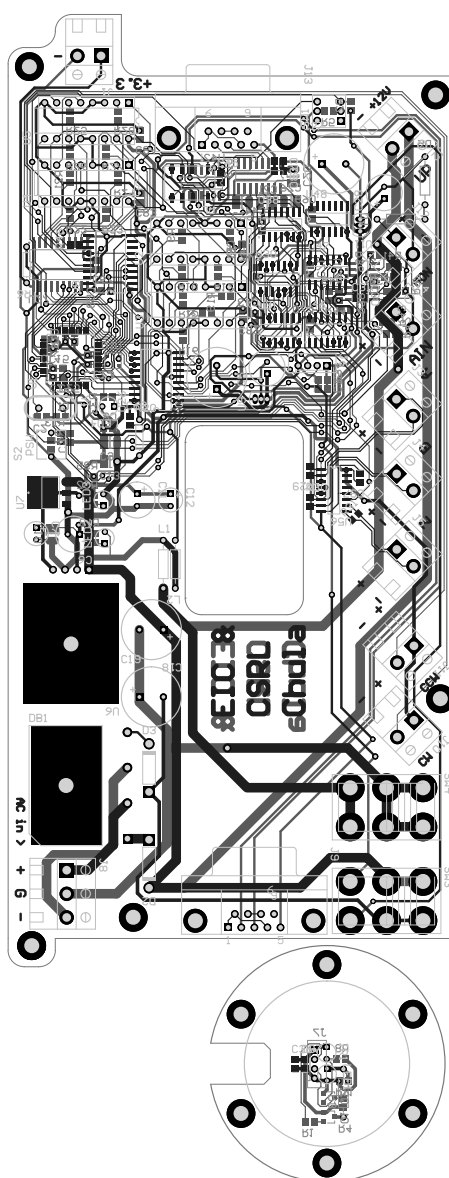


รูปที่ 4.2: มิติด้านบนของแท่งวางของระบบเพนดูลัมผกผันแบบหมุน

4.2 ส่วนควบคุม

ส่วนควบคุมประกอบด้วยไปด้วยสองส่วนหลักได้แก่

- มอเตอร์กระแสสลับและวงจรขับเคลื่อนมอเตอร์ NHK มอเตอร์รุ่น M-JS1003FN001 สำหรับการควบคุมระบบเพนดูลัมผกผันแบบหมุน โดยใช้ ตัวขับเคลื่อน (Driver) รุ่น ESA-J1003B25-31

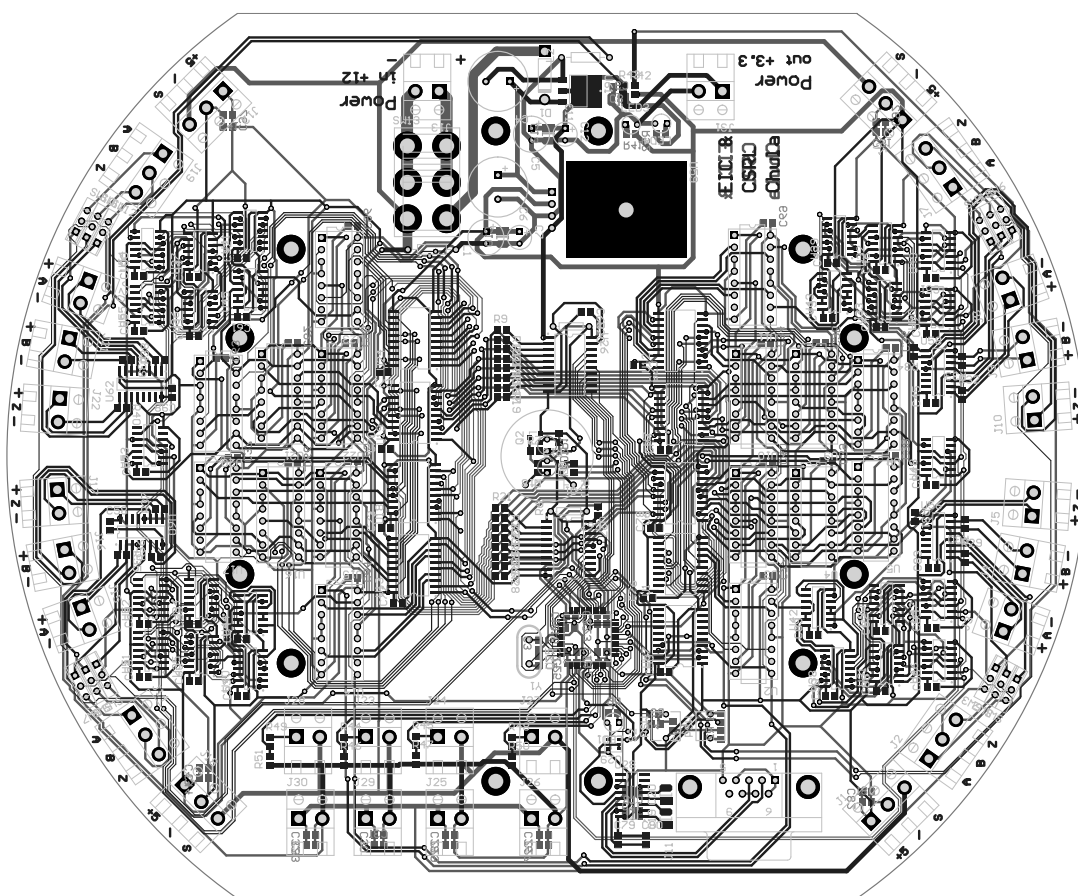


รูปที่ 4.3: ภาพแผงวงจรควบคุมมอเตอร์ของระบบเพนดูลัมผกผันแบบหมุน scale 1:1.6

- **วงจรควบคุม** ซึ่งประกอบด้วยวงจรที่สั่งให้มอเตอร์ทำงานและวงจรรับสัญญาณขาออกของระบบ วงจรทั้งสองมีแผนภาพวงจрдังรูปที่ 4.5 และ 4.6 และมีตำแหน่งของอุปกรณ์ดังรูปที่ 4.7 และ 4.8

4.3 การทำงานของวงจร

วงจรทำงานด้วยการต่อไฟเลี้ยง +12 Volt AC โดยใช้หม้อแปลงแปลงไฟจากไฟกระแสสลับ 220 Volt แล้วจ่ายผ่านทางช่องต่อ J8 ซึ่งวางอยู่ตรงมุมซ้ายบนของแผงวงจร (ดังรูปที่ 4.7) และมีลักษณะการเรียงตัวจากขวาไปซ้าย คือ + GND - นอกจากนี้ ยังสามารถจ่ายไฟออกจากแผงวงจรได้อีก 2 จุด ได้แก่ 3.3 Volt DC/DGND และ 12 Volt DC/DGND โดยต่อออกทางช่องต่อ J1 และ J2 ตามลำดับ สำหรับช่องต่อ J1 นั้นสามารถนำไปใช้ได้อเนกประสงค์ ส่วนช่องต่อ J2 ใช้สำหรับจ่ายไฟเลี้ยงให้แก่แผงวงจรเซนเซอร์ที่อยู่ทางด้านบนผ่านทางวงแหวนทองแดง (Slip Ring) ที่ติดตั้งอยู่กับแท่นยึดมอเตอร์



รูปที่ 4.4: ภาพด้านบนแผงวงจรเซนเซอร์ของระบบเพนดูลัมผกผันแบบหมุน scale 1:1.6

วงจรควบคุมมอเตอร์

วงจรควบคุมใช้ไมโครคอนโทรลเลอร์ LPC2148 (ARM7) ในการประมวลผลเพื่อควบคุมระบบเพนดูลัมผกผันแบบหมุน โดยวงจรมีความสามารถรับสัญญาณขาเข้า และให้สัญญาณขาออกได้หลายทาง ดังนี้

1. ช่องต่อ J6 ใช้สำหรับต่อกับแผงวงจรอินฟราเรดที่ติดตั้งเพิ่มไว้ที่มอเตอร์เพื่อสื่อสารกับแผงวงจรเซนเซอร์ผ่านทาง RS-232 โดยจะรับข้อมูลจากแผงวงจรเซนเซอร์ทั้งข้อมูล แอนะล็อก และ ดิจิทัล ซึ่งวัดได้จากตัวเข้ารหัส (Encoder) ที่ติดอยู่กับก้านเพนดูลัม
2. ช่องต่อ AIN± ใช้สำหรับรับสัญญาณขาออกแอนะล็อก ± 10 โวลต์ จาก ตัวขับ (รุ่น ESA-J1003B25-31) เพื่อบ่งบอกความเร็วปัจจุบันของมอเตอร์
3. ช่องต่อ MON± ใช้สำหรับส่งสัญญาณขาออก ± 10 Volt ที่ขยายมาจากสัญญาณขาออก 0-3.3 Volt ของไมโครคอนโทรลเลอร์ ARM7 โดยจะมีหน้าที่ควบคุมความเร็วและแรงบิดของมอเตอร์
4. ช่องต่อ A±, B±, Z± ใช้สำหรับรับสัญญาณ Differential line จากตัวเข้ารหัสเพื่อระบุตำแหน่งปัจจุบันของมอเตอร์
5. ช่องต่อ CW±, CCW± ใช้สำหรับส่งสัญญาณขาออกเพื่อควบคุมตำแหน่งของมอเตอร์ ซึ่งควบคุมด้วยสัญญาณที่มีลักษณะเป็นขบวนของพัลส์ (Pulse train) และทิศทางที่ต้องการของมอเตอร์ ตามลำดับ
6. ช่อง RS232 ได้แก่ ช่องต่อ J9 และ J13 จะต่ออยู่กับ พอร์ตอนุกรมช่อง 0 ของ ARM7 ซึ่งเราสามารถเลือกได้ว่าจะให้ช่องสัญญาณนี้ต่อกับช่องต่อ J9 หรือ J13 ได้จาก SW2 และ P0.6 ของไมโครคอนโทรลเลอร์

ARM7 โดยช่องต่อ J9 จะติดต่อกับชุดขับเคลื่อนมอเตอร์ และช่องต่อ J13 จะใช้สำหรับโปรแกรมตัวควบคุมเพนดูลัมหรือใช้สื่อสารกับคอมพิวเตอร์

วิธีโปรแกรมไมโครคอนโทรลเลอร์ ARM7 บนวงจรควบคุมมอเตอร์

1. กดสวิตช์ SW2 ลง
2. เชื่อมสายอนุกรมระหว่างช่องต่อ J13 และคอมพิวเตอร์
3. โปรแกรมชุดคำสั่งของไมโครคอนโทรลเลอร์ผ่านโปรแกรม Phillips (LPC210X_ISP.exe) ทางพอร์ตอนุกรม
4. เมื่อบันทึกโปรแกรม เสร็จแล้วกด SW2 (SW2 จะกลับขึ้นมา)
5. กดปุ่ม Reset (S2) 1 ครั้ง โปรแกรมจะเริ่มทำงาน

หลังจากไมโครคอนโทรลเลอร์ ARM7 เริ่มทำงานแล้ว เราจะสามารถเลือกช่อง I/O ของพอร์ตอนุกรมช่อง 0 ได้ 2 ช่อง

1. หากต้องการส่งข้อมูลไปยังคอมพิวเตอร์ผ่านช่องต่อ J13 สามารถทำได้โดยสั่ง P0.6 เป็น low
2. หากต้องการติดต่อกับชุดขับเคลื่อนมอเตอร์ เพื่อปรับแต่งค่าตัวขับ สามารถทำได้โดยสั่ง P0.6 เป็น high การทำงานของตัวขับ

สำหรับชุดขับเคลื่อนมอเตอร์รุ่น ESA-J1003B25-31 นั้นสามารถควบคุมมอเตอร์ได้ 3 แบบ (วิธี initialize และเลือกรูปแบบการควบคุมสามารถดูได้จากคู่มือ ESA25 ในภาคผนวก) ดังนี้

1. Position control mode สามารถกำหนดตำแหน่งที่ต้องการได้ 2 วิธี คือ
 - (a) สัญญาณขาเข้าดิจิทัลผ่านคำสั่ง CW± และ CCW± ทางพอร์ต P0.16 และ P0.17 ของ ARM7 ตามลำดับ
 - (b) ข้อมูลอนุกรม RS-232 ผ่านทางช่องต่อ J9
2. Velocity control mode สามารถกำหนดความเร็วที่ต้องการได้ 2 วิธี คือ
 - (a) สัญญาณขาเข้าแอนะล็อกผ่านคำสั่ง AIN± ทางขา AOUT ของ ARM7 ซึ่งสัญญาณที่ออกมาจาก AOUT นั้นจะมีค่าตั้งแต่ 0 ถึง 3.3 Volt แล้วนำไปผ่านวงจรขยายเพื่อแปลงให้สัญญาณมีค่าตั้งแต่ -10 ถึง +10 Volt
 - (b) ข้อมูลอนุกรม RS-232 ผ่านทางช่องต่อ J9
3. Torque control mode สามารถกำหนดแรงบิดที่ต้องการได้ 2 วิธี คือ
 - (a) ใช้สัญญาณขาเข้าแอนะล็อกผ่านคำสั่ง AIN± ทางพอร์ต AOUT ของไมโครคอนโทรลเลอร์ ARM7
 - (b) ใช้ RS-232 ผ่านทางช่องต่อ J9

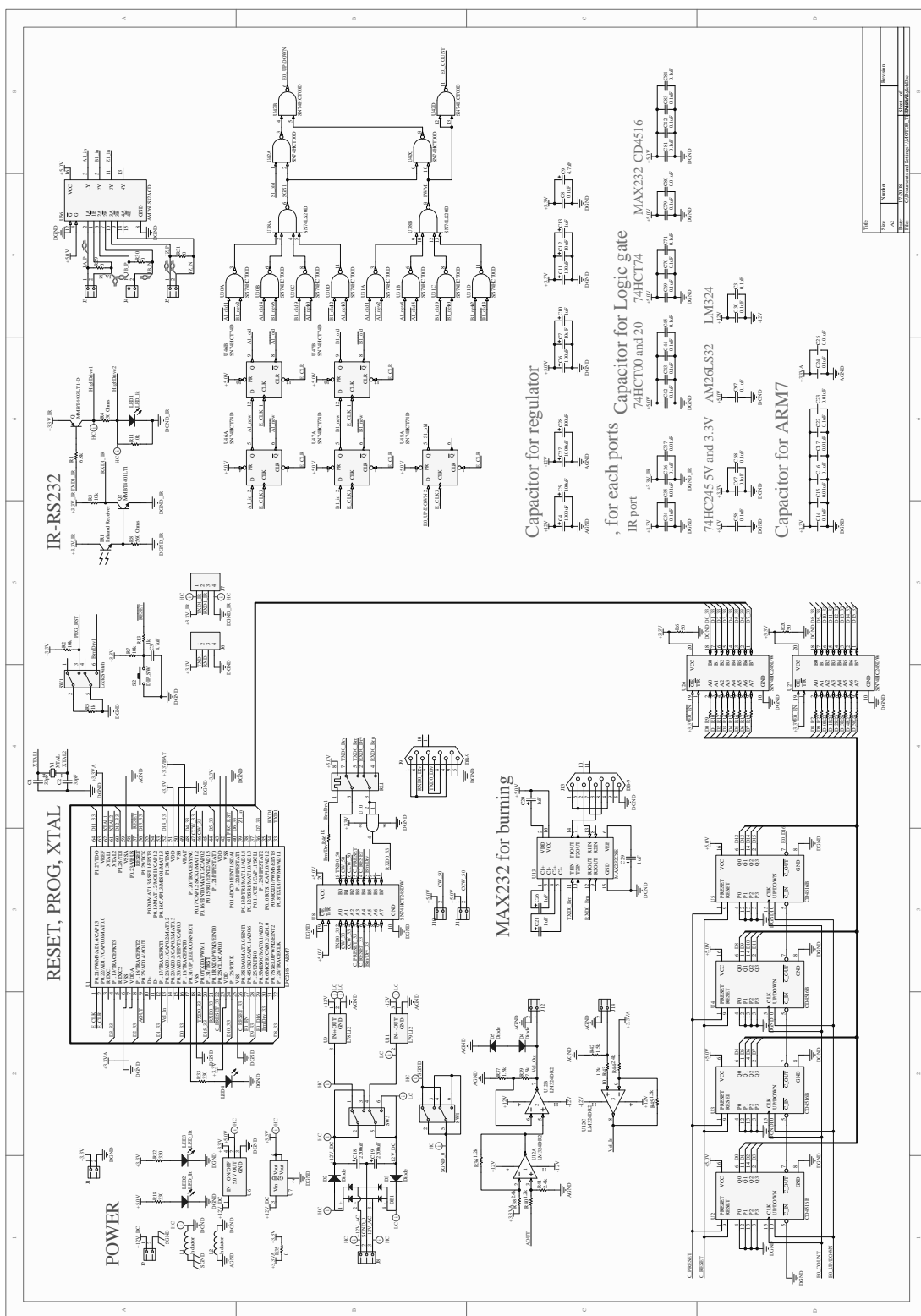
หมายเหตุ: สำหรับการเลือกสั่ง Position control command, Velocity control command หรือ Torque control command ผ่านทาง ARM7 นั้นจะต้องเลือกผ่านทางพอร์ตอนุกรม J9 การอ่านสัญญาณขาออกของมอเตอร์ทำได้โดยติดต่อกับข้อมูลผ่านทางพอร์ตอนุกรม J9 หรือ

- Feedback Position เป็นสัญญาณขาออกดิจิทัลจากช่องต่อ A±, B±, Z± ซึ่งถูกนับโดยวงจรมับ 16 บิตจะอ่านข้อมูลเข้าไมโครคอนโทรลเลอร์ผ่านทางพอร์ต P1.16 ถึง P1.31
- Feedback Velocity เป็นสัญญาณขาออกแอนะล็อกผ่านทางช่องต่อ MON± ซึ่งจะมีสัญญาณอยู่ในช่วง ±10 Volt แล้วจะถูกแปลงให้เป็นสัญญาณในช่วง 0 ถึง 3.3 Volt ด้วยวงจรถอดทอนแรงดัน สัญญาณนี้จะถูกอ่านด้วย A/D ผ่านทางขา AN0.0 ของไมโครคอนโทรลเลอร์

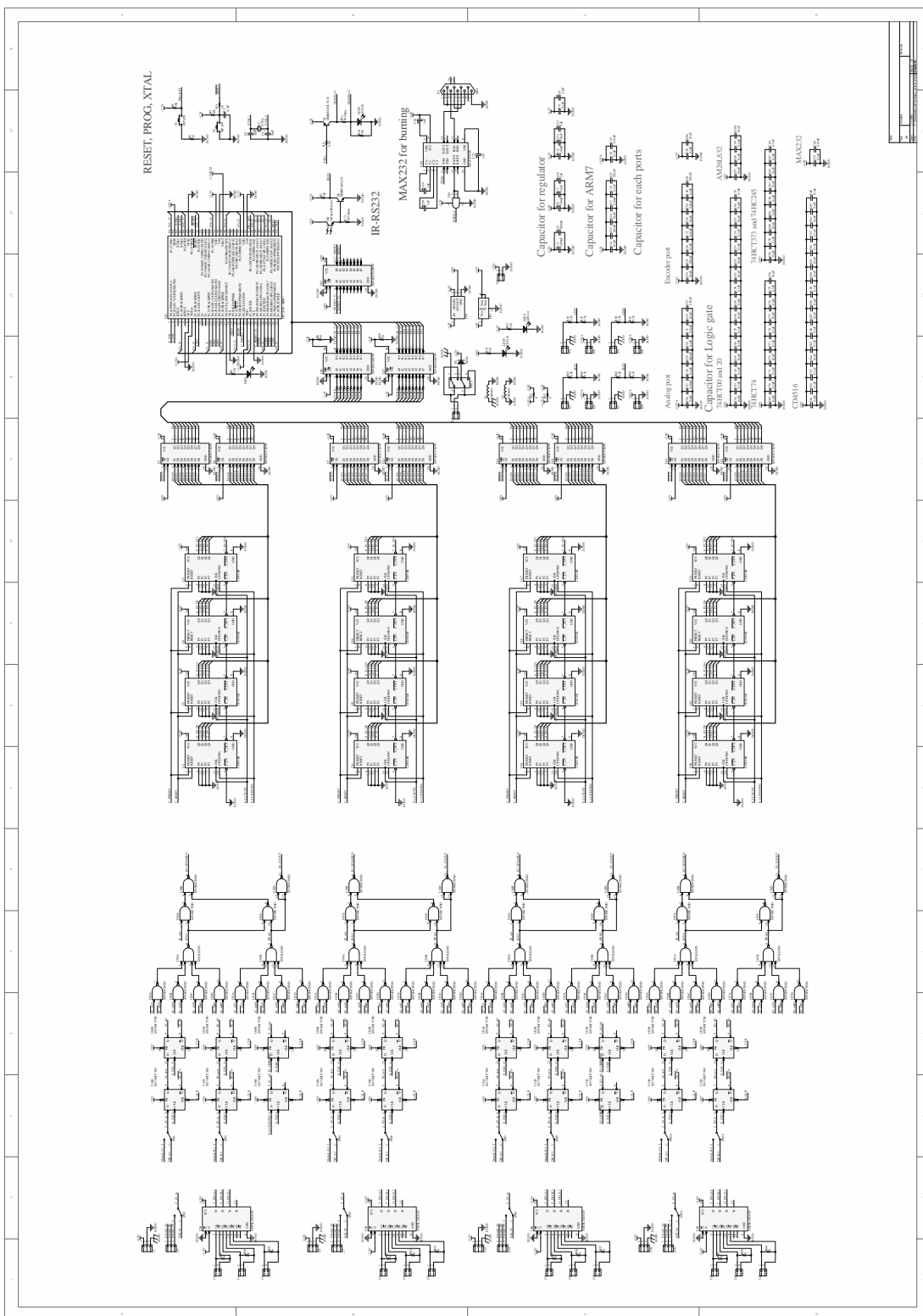
วงจรถนเซเซอร์

วงจรถนเซเซอร์ทำงานด้วยไฟเลี้ยงวงจรจากแผงวงจรด้านล่าง (วงจรถนควบคุมมอเตอร์ผ่านช่องต่อ J19) โดยจ่ายผ่านมาทางวงแหวนทองแดง ไฟเลี้ยงที่จ่ายมานี้เป็นไฟฟ้ากระแสตรงมีค่าประมาณ 12 Volt ซึ่งการจ่ายไฟเลี้ยงผ่านทางวงแหวนทองแดงนั้น ช่วยให้แผงวงจรถนเซเซอร์สามารถหมุนได้อย่างอิสระ เนื่องจากไม่ต้องต่อสายไฟจากภายนอกเข้าแผงวงจร และวงจรจะแปลงไฟเลี้ยงวงจร 12 Volt ไปแปลงเป็นไฟเลี้ยงวงจร 3.3 Volt และ 5 Volt เพื่อใช้เป็นแหล่งจ่ายไฟฟ้าให้กับไมโครคอนโทรลเลอร์ (LPC2148 - ARM7) และอุปกรณ์ต่าง ๆ ในวงจร วงจรนี้ทำหน้าที่อ่านข้อมูลจากเซนเซอร์ต่าง ๆ และส่งข้อมูลนั้นกลับไปยังวงจรถนควบคุมมอเตอร์ผ่านทางวงจรถนสัญญาณอินฟราเรดที่ติดตั้งไว้ช่วงกลางของแผงวงจรถนเซเซอร์ โดยแผงวงจรถนอินฟราเรดนี้จะสามารถรับส่งสัญญาณได้ที่ อัตราบอด (Baud rate) สูงสุด 57,600 บิตต่อวินาที

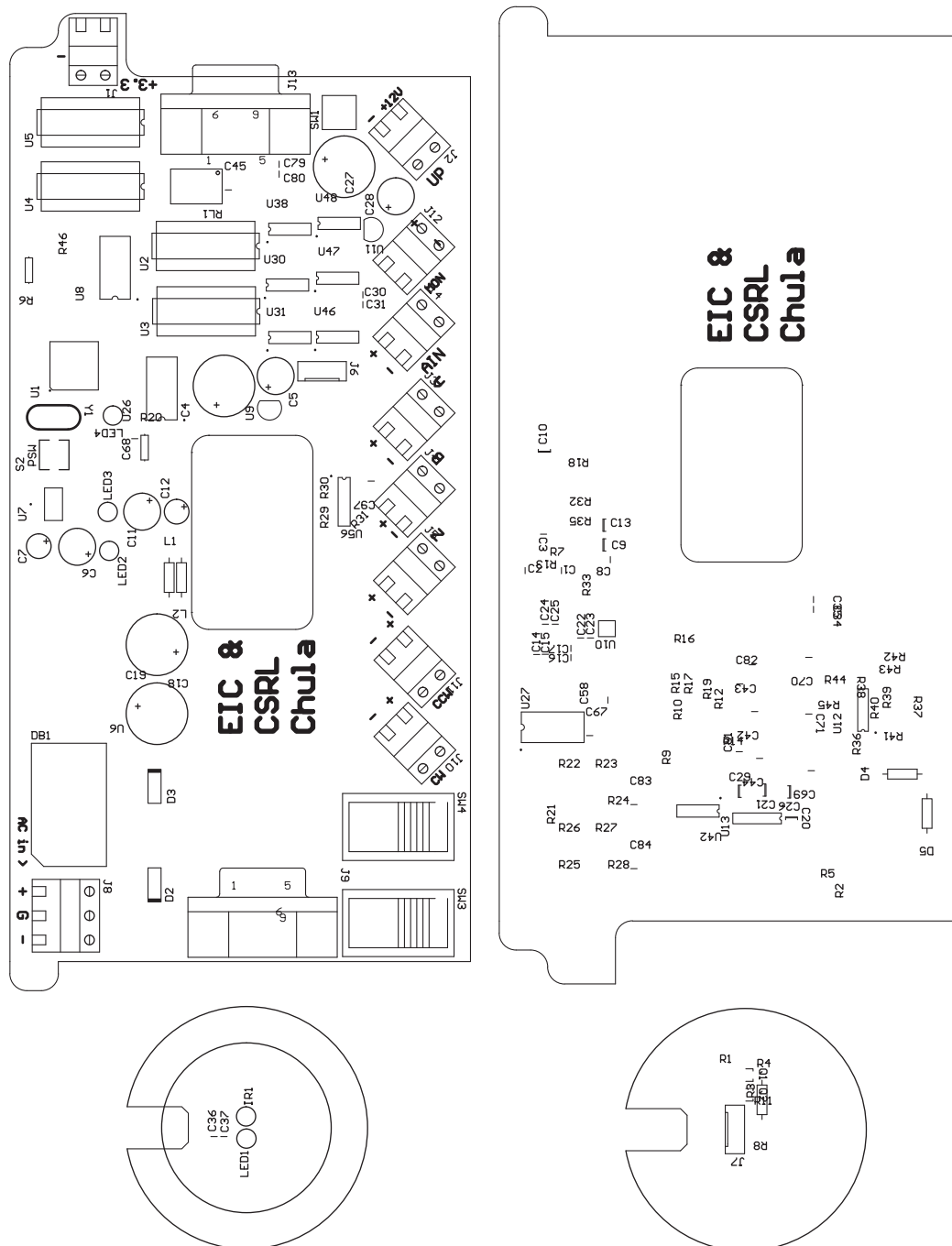
ภายในแผงวงจรถนเซเซอร์มีวงจรมับตัวเข้ารหัสทั้งหมดสี่ชุดสามารถนับตัวเข้ารหัสแบบ quadrature ด้วยความละเอียดถึง 16 บิต โดยตัวเข้ารหัสที่ใช้มีความละเอียดของช่องสัญญาณ A หรือ B เท่ากับ 1250 พัลส์ต่อรอบ สัญญาณขาเข้าของวงจรมับนั้นเป็นได้ทั้งแบบ Differential line และแบบที่ไม่ใช่ Differential line โดยสามารถเลือกได้ทางสวิตช์ที่วางอยู่บริเวณวงจรมับนั้น ๆ นอกจากวงจรมับแล้วยังสามารถอ่านสัญญาณขาเข้าที่เป็นสัญญาณแอนะล็อกได้อีกสี่ช่องทาง ผ่านทางช่องต่อ J23, J24, J27 และ J28 พร้อมช่องจ่ายไฟ 5 Volt สำหรับการติดตั้งเซนเซอร์แอนะล็อกชนิดอื่น อาทิ มาตรวัดความเร่งและไจโรสโคป ในอนาคต



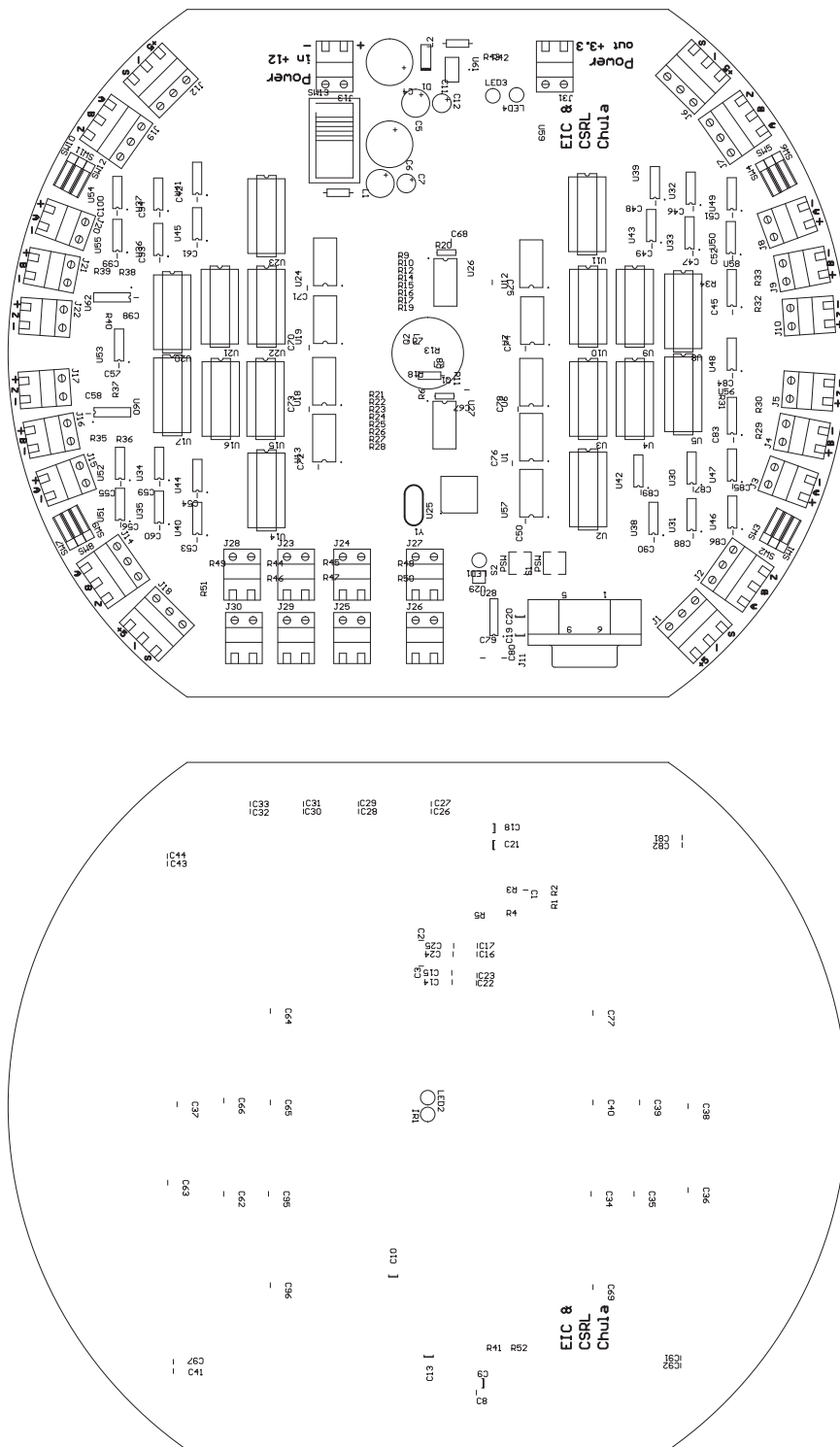
รูปที่ 4.5: แผนภาพวงจรควบคุมของระบบเฟิร์มแวร์แบบหมุน



รูปที่ 4.6: แผนภาพวงจรเซนเซอร์ของระบบเพนดูลัมผกผันแบบหมุน



รูปที่ 4.7: ภาพตำแหน่งของอุปกรณ์ด้านบนและล่างในวงจรควบคุมของระบบเพนดูลัมผกผันแบบหมุน



รูปที่ 4.8: ภาพตำแหน่งของอุปกรณ์ด้านบนและล่างในวงจรเซนเซอร์ของระบบเพนดูลัมผกผันแบบหมุน

บทที่ 5

การหาค่าเอกลักษณ์ของระบบ

การหาค่าเอกลักษณ์ของระบบแบ่งเป็นสองส่วนคือ การหาเอกลักษณ์ของงานหมุน และการหาเอกลักษณ์ของแท่งเพนดูลัม

5.1 การหาเอกลักษณ์ของงานหมุน

การหาเอกลักษณ์ของงานหมุนด้วย Parametric method : ARX

แท่งเพนดูลัมถูกถอดออกจากระบบ จากนั้นสัญญาณควบคุมแรงบิดแบบสุ่มถูกจ่ายให้กับมอเตอร์ ความเร็วของมอเตอร์ถูกวัดผ่าน encoder ที่ติดอยู่กับมอเตอร์ จากผลการทดลองสุ่มการใช้แบบจำลองระบบแบบต่าง ๆ พบว่า การหาเอกลักษณ์ของระบบให้ผลการประมาณที่ดีที่สุดเมื่อ ใช้แบบจำลองของระบบ ดังนี้

$$v(k) = a_1 v(k-1) + b_1 \tau(k - n_c) \quad (5.1)$$

จากรูป 5.1 และ 5.2 และตาราง 5.1 คอร์รีเลชันของทอร์คและความเร่งเชิงมุมมีค่ามากที่สุดเมื่อมีการประวิง

การประวิงเวลา	0	1	2	3	4	5	6
คอร์รีเลชัน	0.0357	0.6837	0.6772	0.1145	-0.1597	-0.0236	-0.1092

ตารางที่ 5.1: คอร์รีเลชันระหว่างทอร์คและความเร่งเชิงมุมที่มีการชดเชยการประวิงเวลาค่าต่าง ๆ

เวลาของสัญญาณขาเข้าเราจึงเลือก $n_c = 1$ และจากการหาเอกลักษณ์ของระบบจากข้อมูลชุดนี้มีค่า $a_1 = 0.9734$, $b_1 = 0.4467$, Loss function = 0.366402 เมื่อระบุว่าจะใช้ค่าของ $f = 75\text{Hz}$ จะได้แบบจำลองของระบบเป็น

$$\omega(k) = 0.9734\omega(k-1) + 0.4467\tau(k-1) \quad (5.2)$$

เมื่อเปรียบเทียบกับระบบต่อเนื่องซึ่งมีลักษณะดังนี้

$$\dot{\omega}(t) = A\omega(t) + B\tau(t) \quad (5.3)$$

แปลงระบบนี้เป็นระบบแบบไม่ต่อเนื่องจะได้

$$\omega(t+T) = e^{AT}\omega(t) + \frac{B}{A}(e^{AT}-1)\tau(t) \quad (5.4ก)$$

$$\omega(k) = e^{AT}\omega(k-1) + \frac{B}{A}(e^{AT}-1)\tau(k-1) \quad (5.4ข)$$

จะได้ว่า

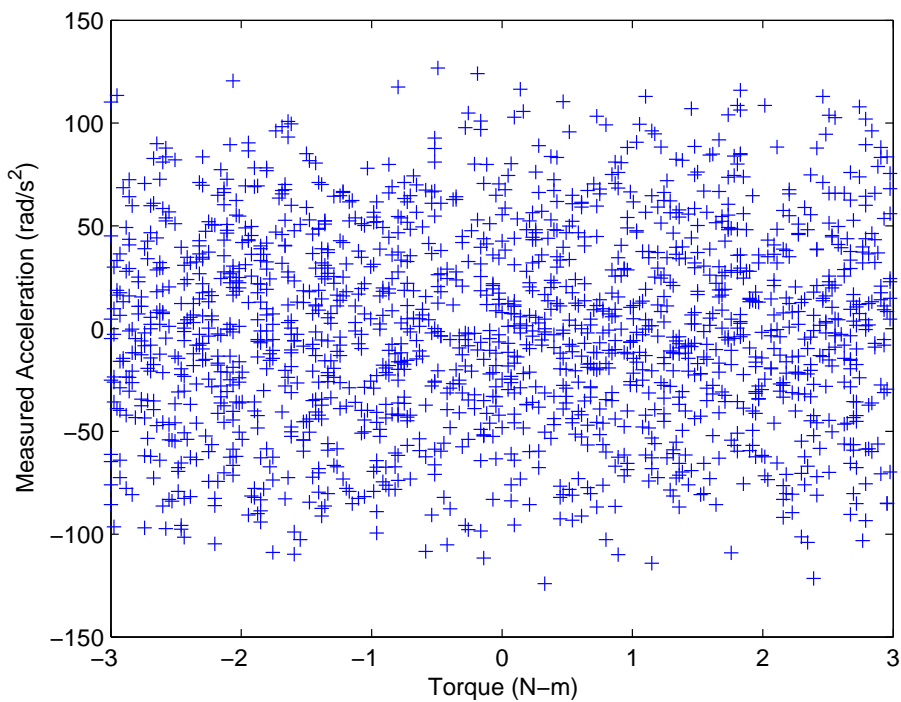
$$a_1 = e^{AT}, \quad b_1 = \frac{B}{A}(e^{AT}-1), \quad (5.5ก)$$

$$A = \frac{\log(a_1)}{T}, \quad B = \frac{b_1 \log(a_1)}{T(a_1-1)} \quad (5.5ข)$$

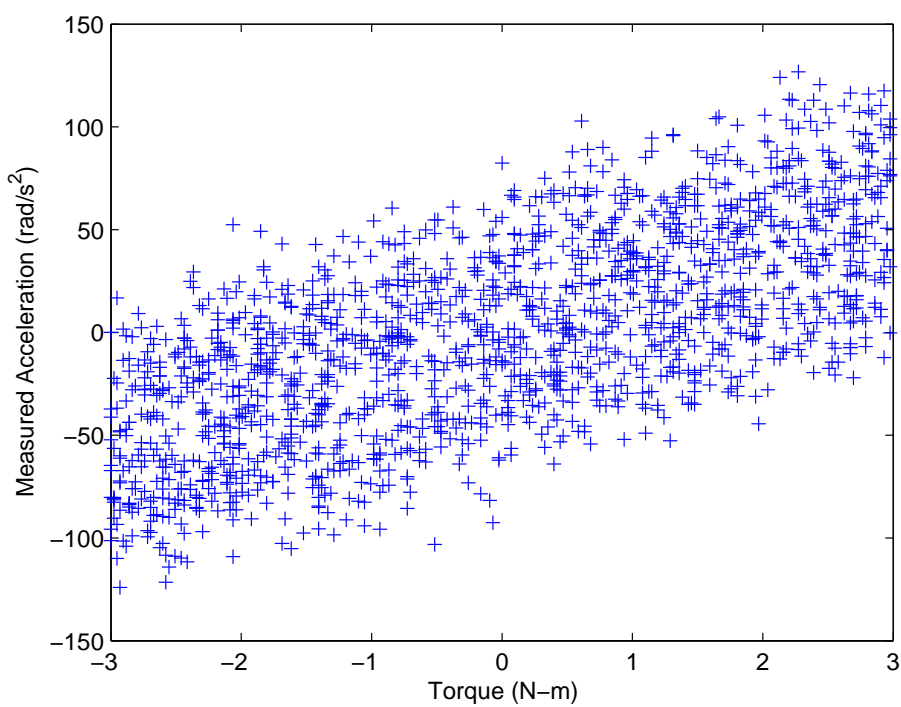
$$A = -2.0220, \quad B = 33.9561 \quad (5.5ค)$$

เมื่อเขียนให้อยู่ในรูปสมการเชิงกล

$$\tau = J_0 \dot{\omega} - c_0 \omega = \frac{1}{B} \dot{\omega} - \frac{A}{B} \omega \quad (5.6)$$



รูปที่ 5.1: ความสัมพันธ์ระหว่างทอร์คและความเร่งเชิงมุมเมื่อไม่มีการชดเชยการประวิงเวลา



รูปที่ 5.2: ความสัมพันธ์ระหว่างทอร์คและความเร่งเชิงมุมเมื่อมีการชดเชยการประวิงเวลา 2 คาบการสุม

ซึ่งจะได้ว่า

$$J_0 = 0.0294 \quad \text{kg} \cdot \text{m}^2, \quad c_0 = -0.0595 \quad \text{N} \cdot \text{m}/\text{rad}/\text{s} \quad (5.7)$$

โดยที่ J_0 คือโมเมนต์ความเฉื่อยของจานหมุนและ c_0 คือสัมประสิทธิ์แรงหนืดตามการหมุนของจานหมุน

เมื่อนำค่าที่ได้จากการหาเอกลักษณ์มาทดสอบกับการทดสอบผลตอบสนองขั้นของระบบจะมีลักษณะกราฟสี่เหลี่ยมดังรูป 5.3 ซึ่งค่อนข้างแตกต่างจากความเร่งที่วัดได้จากระบบจริง จึงคะเนโครงสร้างของแบบจำลองคณิตศาสตร์โดยเพิ่มผลของแรงเสียดทานที่แปรผันตามความเร็วแบบไม่เชิงเส้นอย่างแรง จาก (5.2) จึงถูกประมาณเป็นแบบจำลองที่เป็นสมการเชิงอนุพันธ์ดัง (5.8)

$$\dot{\omega} = 47\tau - 0.47\omega - f(\omega) \quad (5.8)$$

โดยที่ $f(\omega)$ เป็นฟังก์ชันของ ω ฟังก์ชันอิมิตัวที่มีความชันเป็น 4 เมื่อ $-5 \leq \omega \leq 5$ และมีค่าคงที่ -20 และ 20 ในช่วงอื่น มีลักษณะดังรูป 5.4 ผลการจำลองระบบโดยใช้แบบจำลอง (5.8) ให้ผลการจำลองที่ดีกว่าดังเส้นสีแดงในรูป 5.3 การเปลี่ยนแปลงแบบจำลองทำให้ค่า J_0 เปลี่ยนไปจากเดิมและ c_0 มีค่าไม่สม่ำเสมอและมีแนวโน้มดังรูป 5.4 จาก (5.8) สามารถเขียนให้อยู่ในรูปสมการเชิงกลได้ดังนี้

$$J_0\dot{\omega} = \tau - F(\omega) \quad (5.9)$$

โดย J_0 มีค่า $1/47$ และ F คือแรงที่เป็นฟังก์ชันไม่เชิงเส้นของ ω มีความชันเปลี่ยนแปลงตามค่า ω

5.2 การหาเอกลักษณ์ของแท่งเพนดูลัม

ในรายงานฉบับนี้ใช้ผลตอบสนองจากการแกว่งของแท่งเพนดูลัมเพื่อหาพารามิเตอร์จากการแกว่งของแท่งเพนดูลัม ผลตอบสนองการแกว่งของแท่งเพนดูลัมแท่งยาวมีลักษณะดังแสดงในรูป 5.5 ซึ่งจะเห็นได้ว่า เพนดูลัมมีคาบของการแกว่ง T เท่ากับ 1.0043 วินาที มีความถี่ของการแกว่งเท่ากับ $\frac{2\pi}{T} = 6.0462 \text{ rad/s}$ จากข้อมูลในรูป 5.5 จะคำนวณได้ว่ามุมของแท่งเพนดูลัมลดลงด้วยอัตรา $e^{-0.0282t}$ และลู่อู่เข้าสู่ค่า -0.1413 และมีค่าเริ่มต้นที่ 0.695 ขั้นตอนการคำนวณมีดังนี้ ขั้นแรกกำหนดสมการของเส้นที่ลากผ่านจุดยอดทุกจุดของกราฟเป็น

$$\beta(t) = \beta_i e^{at} - c \quad (5.10)$$

ค่าพารามิเตอร์ β_i, a และ c สามารถหาได้โดยใช้วิธี least square กับเซตของพิกัดของจุดยอดแต่ละจุดของกราฟ แต่เนื่องจากสมการ 5.10 ไม่เชิงเส้นจึงต้องมีกระบวนการแปลงดังนี้

- เก็บข้อมูลสองชุดที่มีค่ามุมเริ่มต้นไม่เท่ากันแล้วนำข้อมูลทั้งสองมา ลบกันเพื่อตัดตัวแปร c ออกจากสมการจะได้

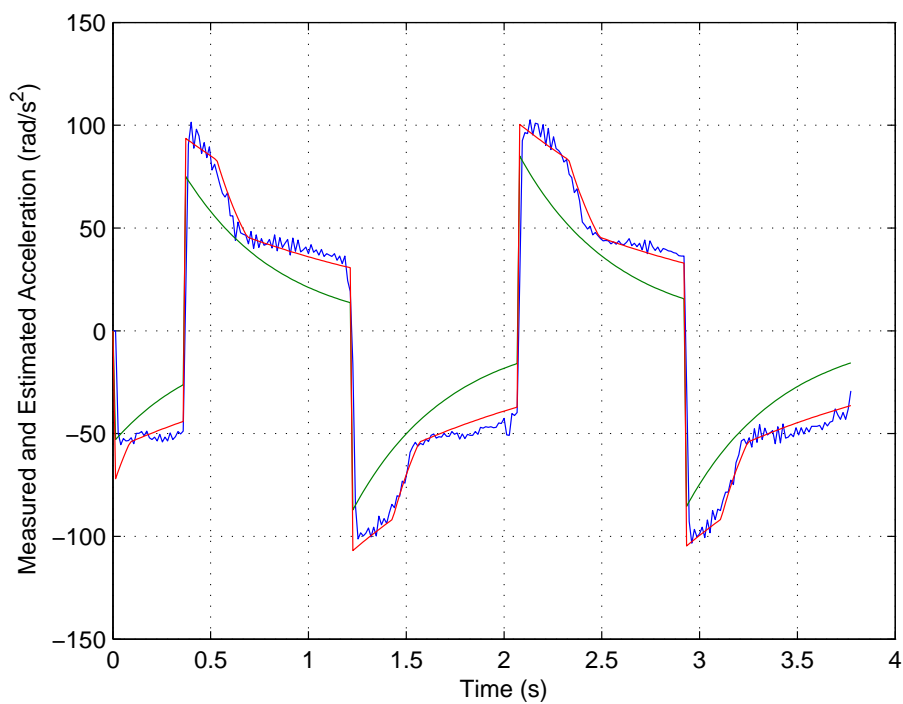
$$\beta_1(t) - \beta_2(t) = (\beta_{1i} - \beta_{2i})e^{at} \quad (5.11ก)$$

$$\frac{\beta_1(t) - \beta_2(t)}{\beta_{1i} - \beta_{2i}} = e^{at} \quad (5.11ข)$$

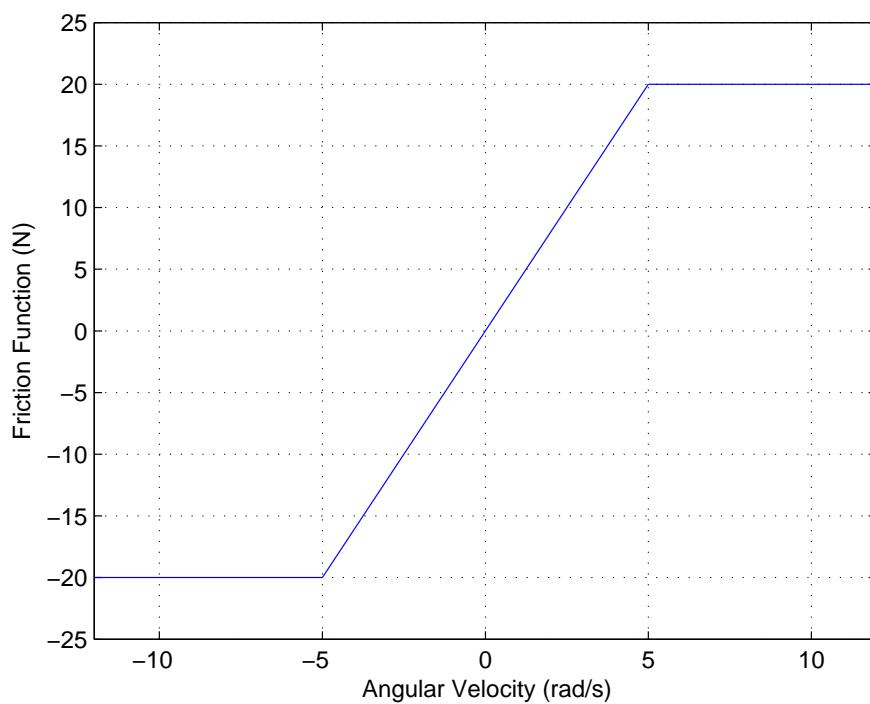
$$\log\left(\frac{\beta_1(t) - \beta_2(t)}{\beta_{1i} - \beta_{2i}}\right) = at \quad (5.11ค)$$

โดย $\beta_{1i} - \beta_{2i}$ เป็นค่าที่ทราบแน่นอนซึ่งสามารถใช้หลักการ least square เพื่อหา a ได้

- จากนั้นเลือกข้อมูลมาชุดหนึ่ง แทนค่า a ใน (5.10) จากนั้นใช้หลักการ least square เพื่อหาค่า c และหาค่า β_i ที่แม่นยำยิ่งขึ้น ซึ่งได้ค่า $a = -0.0282$, $\beta_i = 0.8363$ และ $c = 0.1413$



รูปที่ 5.3: การเปรียบเทียบผลตอบสนองสัญญาณทอร์คเป็นขั้นและความเร่งของงานเพนดูลัมทั้งที่วัดได้และที่ได้จากการจำลองโดยใช้แบบจำลองทั้งสองแบบ



รูปที่ 5.4: แบบจำลองความสัมพันธ์ระหว่างความเร็วและแรงเสียดทานที่เกิดขึ้นในงานหมุน

เส้นสีเขียวและแดงในรูป 5.5 เป็นกราฟของสมการที่ได้มาจากการหาค่า β_i , a และ c ด้วยวิธีนี้ ค่าพารามิเตอร์เหล่านี้จะถูกลำนำไปเปรียบเทียบกับสมการพลวัตของการแกว่งของแท่งเพนดูลัม พิจารณาสมการพลวัตต่อไปนี้

$$(ml^2 + J_1) \ddot{\beta} = -mgl \sin(\beta) - \eta_2 \dot{\beta} - \eta_3 \operatorname{sgn}(\dot{\beta}) \quad \sin(\beta) \approx \beta \quad (5.12ก)$$

$$\ddot{\beta} = c_1 \beta + c_2 \dot{\beta} + c_3 \operatorname{sgn}(\dot{\beta}) \quad (5.12ข)$$

โดย η_2 และ η_3 คือสัมประสิทธิ์แรงหนืดการหมุนและแรงเสียดทานคงตัวของแกนหมุนแท่งเพนดูลัม และ c_1 , c_2 และ c_3 เป็นค่าคงตัวที่สมมติขึ้นและเป็นค่าคงตัวที่ต้องการทราบค่า เขียนสมการ 5.12ข ให้อยู่ในรูปเมทริกซ์

$$\begin{bmatrix} \ddot{\beta} \\ \dot{\beta} \end{bmatrix} = \begin{bmatrix} c_2 & c_1 \\ 1 & 0 \end{bmatrix} \begin{bmatrix} \dot{\beta} \\ \beta \end{bmatrix} + \begin{bmatrix} c_3 \operatorname{sgn}(\dot{\beta}) \\ 0 \end{bmatrix} \quad (5.13)$$

ให้

$$A = \begin{bmatrix} c_2 & c_1 \\ 1 & 0 \end{bmatrix}, \quad X = \begin{bmatrix} \dot{\beta} \\ \beta \end{bmatrix}, \quad B = \begin{bmatrix} c_3 \\ 0 \end{bmatrix} \quad (5.14)$$

ใช้การแปลงลาปลาซช่วยโดยสมมติให้ $\operatorname{sgn}(\dot{\beta})$ มีค่าเป็นบวกมีความเร็วในทิศทางเดียวจะได้

$$\dot{X} = AX + B \quad (5.15)$$

$$sX - X(0) = AX + \frac{1}{s}B \quad (5.16)$$

$$X = \frac{sX(0) + B}{s(s - A)} \quad (5.17)$$

และ

$$X = e^{At} (X(0) + A^{-1}B) - A^{-1}B \quad (5.18)$$

ดังนั้นผลเฉลยของ X จึงมีผลตอบขึ้นกับ pole หรือ eigenvalue ของระบบ ซึ่งจากผลตอบของระบบจริงข้างต้นระบุได้ว่า pole ของระบบมีค่าเท่ากับ $-0.0282 \pm 6.0462i$

$$s^2 - c_2s - c_1 = 0 \quad (5.19)$$

$$s^2 + 0.0564s + 39.1408 = 0 \quad (5.20)$$

$$c_1 = -36.5557, \quad c_2 = -0.0564 \quad (5.21)$$

จากนั้นเพื่อหา c_3 จึงต้องมีการคำนวณการสูญเสียพลังงานจากพลังงานตั้งต้นตามสมการนี้

$$\text{P.E.}(0) + \text{K.E.}(0) = E_{(\text{loss}-C2)} - E_{(\text{loss}-C3)} \quad (5.22)$$

โดยที่พลังงานศักย์ตั้งต้น $\text{P.E.}(0)$ นั้นคำนวณมาจากสมการ

$$\text{P.E.}(0) = mgl \left(1 - \left(1 - \frac{(\beta_i - c)^2}{2} \right) \right) \quad (5.23)$$

พลังงานศักย์ตาม (5.23) เป็นพลังงานศักย์ของระบบที่ประมาณ $\sin(\beta) \approx \beta$ และพลังงานจลน์ตั้งต้น $\text{K.E.}(0)$ นั้นคำนวณมาจากสมการ

$$\text{K.E.}(0) = \frac{1}{2} (ml^2 + J_1) (a(\beta_i - c))^2 \quad (5.24)$$

จากนั้นพิจารณา $E_{(\text{loss}-C2)}$ จะได้

$$E_{(\text{loss}-C2)} = \eta_2 \int_0^t \dot{\beta} d\beta = \eta_2 \int_0^t \dot{\beta}^2 dt \quad (5.25)$$

พิจารณา $E_{(\text{loss}-C3)}$ จะได้

$$E_{(\text{loss}-C3)} = \eta_3 \int_0^t \text{sgn}(\dot{\beta}) d\beta \quad (5.26)$$

เมื่อนำ $ml^2 + J_1$ หารทั้งสองข้างของสมการจะได้

$$\frac{mgl}{ml^2 + J_1} \frac{(\beta_i - c)^2}{2} + \frac{1}{2} (a(\beta_i - c))^2 = \frac{\eta_2}{ml^2 + J_1} \int_0^t \dot{\beta}^2 dt + \frac{\eta_3}{ml^2 + J_1} \int_0^t \text{sgn}(\dot{\beta}) d\beta \quad (5.27ก)$$

$$c_1 \frac{(\beta_i - c)^2}{2} + \frac{1}{2} (a(\beta_i - c))^2 = c_2 \int_0^t \dot{\beta}^2 dt + c_3 \int_0^t \text{sgn}(\dot{\beta}) d\beta \quad (5.27ข)$$

โดยการสมมติให้

$$\beta(t) = (\beta_i e^{at} - c) \cos(\omega t), \quad \dot{\beta}(t) = \beta_i e^{at} (a \cos(\omega t) - \omega \sin(\omega t)) + c\omega \sin(\omega t) \quad (5.28)$$

ซึ่งสามารถคำนวณได้ว่า ($c_2 = 2a$)

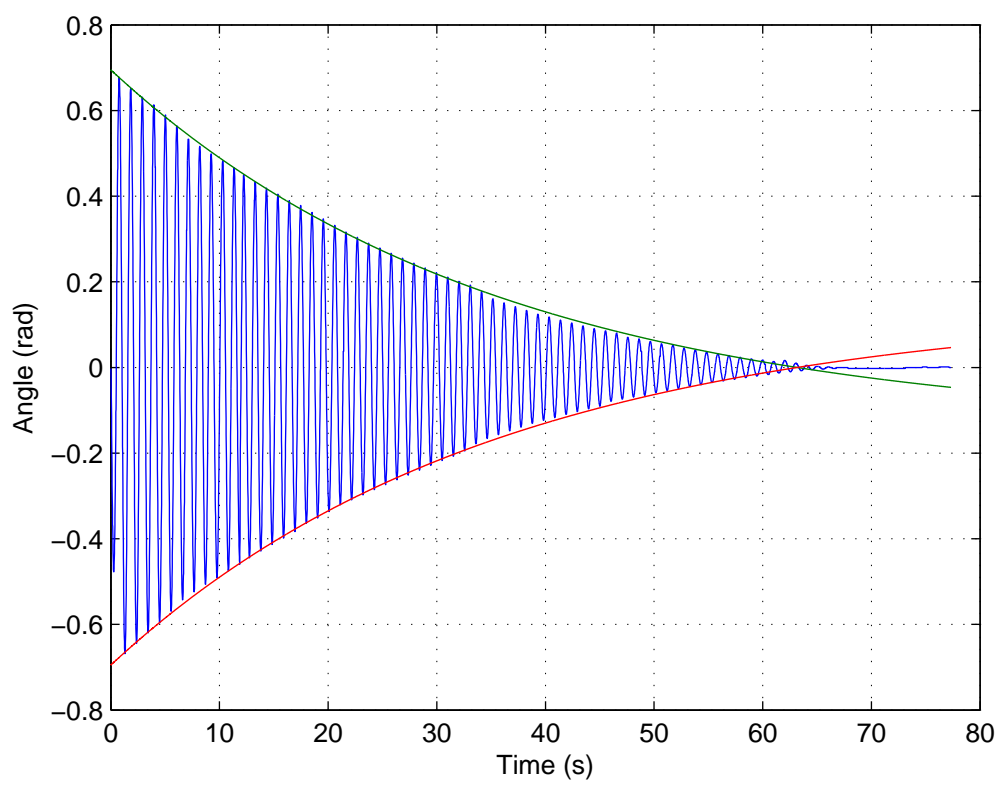
$$\begin{aligned} c_2 \int_0^t \dot{\beta}^2 dt &= c_2 \beta_i^2 \int_0^t e^{2at} (a \cos(\omega t) - \omega \sin(\omega t))^2 dt \\ &\quad + 2c_2 \beta_i c\omega \int_0^t e^{at} (a \cos(\omega t) \sin(\omega t) - \omega \sin^2(\omega t)) dt \\ &\quad + c_2 c^2 \omega^2 \int_0^t \sin^2(\omega t) dt \\ &= -\frac{\beta_i^2}{2} (a^2 \cos(2\omega t) + a^2 - a\omega \sin(2\omega t) + \omega^2) e^{2at} \Big|_0^{t_f} \\ &\quad + \frac{2c\omega \beta_i}{(4\omega^2 + a^2)} (4\omega^3 + a^2\omega - (2a\omega^2 + a^3) \sin(2\omega t) + a^2\omega \cos(2\omega t)) e^{at} \Big|_0^{t_f} \\ &\quad - \frac{c^2 a \omega}{2} (2\omega t_f - \sin(2\omega t_f)) \end{aligned} \quad (5.29)$$

หลังจากแทนค่า $\beta_i, c, a, \omega, c_1, c_2$ และ t_f ลงใน (5.27) จะได้

$$8.8289 + 1.9139 \times 10^{-4} = 6.5373 + c_3 \int_0^t \text{sgn}(\dot{\beta}) d\beta \quad (5.30ก)$$

$$c_3 = \frac{8.8289 + 1.9139 \times 10^{-4} - 6.5373}{60.6795} = 0.0378 \quad (5.30ข)$$

ซึ่งปริพันธ์พจน์สุดท้ายคือระยะทางที่เกิดแรงเสียดทานคงที่ทั้งหมดหาได้จากผลรวมของขนาดของมุมที่เคลื่อนที่ในความเร็วทั้งสองทิศ เมื่อนำ c_1, c_2 และ c_3 ที่คำนวณได้แทนในสมการ 5.12 จะได้แบบจำลองคณิตศาสตร์ของการหมุนแท่งเพนดูลัมที่สมบูรณ์



รูปที่ 5.5: ผลตอบสนองการแกว่งของแท่งเพนดูลัมจากระบบจริง

บทที่ 6

การนำไปใช้กับระบบจริง

ในบทนี้แสดงการนำแบบจำลองที่ได้มาเพื่อออกแบบตัวควบคุมเพื่อนำไปใช้กับระบบจริงที่เป็นเพนดูลัม ผกผันแบบแท่งเดียว

6.1 ประมาณเป็นเชิงเส้นเพื่อหาอัตราขยายการป้อนกลับโดย LQR

จากการหาเอกลักษณ์ของระบบพบว่าระบบมีความไม่เชิงเส้นอยู่ เราจึงละเลยผลความไม่เชิงเส้นนั้น เหลือเพียงแบบจำลองที่เป็นเชิงเส้นเท่านั้น เพื่อให้สามารถเขียนสมการพลวัตให้อยู่ในรูปของปริภูมิสถานะได้ (5.8) จึงเหลือเพียง

$$J_0 \dot{\omega} = \tau - c_1 \omega \quad (6.1)$$

โดยที่ J_0 มีค่า $1/47$ และ c_1 มีค่า 0.03 จากการเลือกค่า c_1 ให้ใกล้เคียงกับแบบจำลองที่ไม่เชิงเส้น และจากการละเลย c_3 ใน (5.12ข) จะได้สมการ

$$(ml^2 + J_1) \ddot{\beta} = -mgl\beta - \eta_2 \dot{\beta} \quad (6.2)$$

เราทราบค่า m, l และ g ที่ค่อนข้างแน่นอน ดังนั้นจากค่าคงตัวที่ได้จากการหาเอกลักษณ์ของระบบ จึงสามารถคำนวณ J_1 ในสมการ (2.25) ได้เป็น $J_1 = 0.0019$ และเลือกค่า c_2 ให้ผลตอบสนองใกล้เคียงกับระบบที่ไม่เชิงเส้นได้ $c_2 = -4.626 \times 10^{-4}$ นำค่าคงตัวต่าง ๆ เหล่านี้ไปแทนใน (2.27) - (2.28) เพื่อหาแบบจำลองคณิตศาสตร์ที่เป็นเชิงเส้น ได้

$$E = \begin{bmatrix} 1 & 0 & 0 & 0 \\ 0 & 1 & 0 & 0 \\ 0 & 0 & 61.24 & -0.536 \\ 0 & 0 & -0.535 & 0.0066 \end{bmatrix} \quad (6.3)$$

$$F = \begin{bmatrix} 0 & 0 & 1 & 0 \\ 0 & 0 & 0 & 1 \\ 0 & 0 & -0.03 & 0 \\ 0 & 0.2415 & 0 & -4.626 \times 10^{-4} \end{bmatrix} \quad (6.4)$$

จากนั้นในกระบวนการทำ LQR กำหนดให้เมทริกซ์ Q มีค่าดังนี้

$$Q = \begin{bmatrix} 5 & 0 & 0 & 0 \\ 0 & 2000 & 0 & 0 \\ 0 & 0 & 1 & 0 \\ 0 & 0 & 0 & 1000 \end{bmatrix} \quad (6.5)$$

และ R มีค่าเท่ากับ 1 สุดท้ายแล้ว จะได้อัตราขยายการป้อนกลับ K เป็น

$$K = \begin{bmatrix} -0.1 & 55.5 & -3.56 & 4.94 \end{bmatrix} \quad (6.6)$$

ถัดไปเป็นการทดลองใช้ค่าอัตราขยายการป้อนกลับที่คำนวณได้กับระบบจำลอง

6.2 ทดลองใช้กับระบบจำลองที่รวมความไม่เชิงเส้น

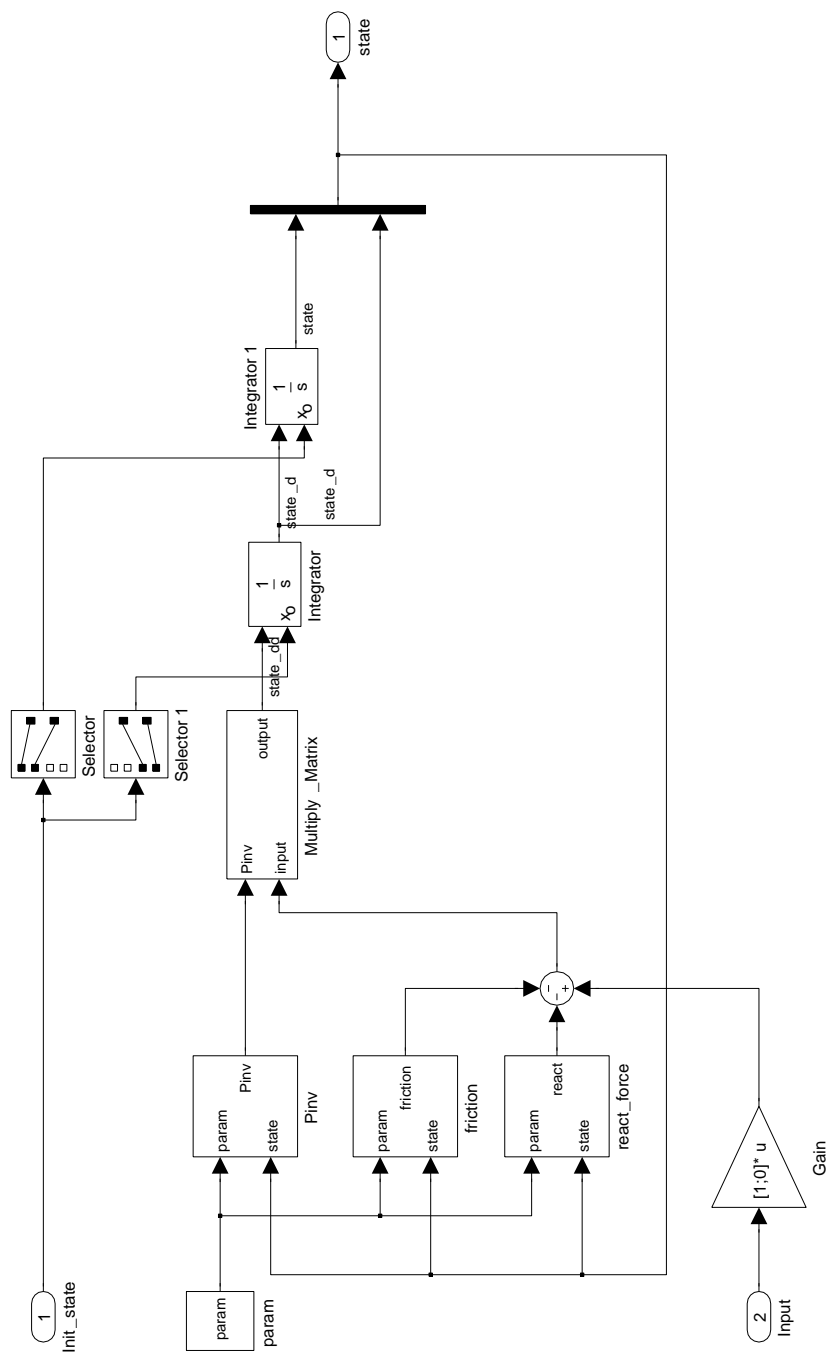
ระบบจำลองที่ไม่เชิงเส้นถูกเขียนให้อยู่ในรูปแผนภาพดังรูป 6.1 - 6.7 ซึ่งเป็นแบบจำลองใน Simulink Matlab ที่รวมความไม่เชิงเส้นที่มาจากแรงเสียดทานด้วย จากนั้นจึงทดลองควบคุมด้วยตัวควบคุมที่ออกแบบไว้แล้วโดยที่ตัวควบคุมมีแผนภาพบล็อกดังรูป 6.8 ผลการจำลองมีค่าดังรูป 6.9 และ 6.10

ผลตอบสนองที่ได้ในรูป 6.9 และ 6.10 แสดงให้เห็นว่าตัวควบคุมที่ออกแบบมาสามารถใช้ควบคุมระบบเพนดูลัมแท่งเดี่ยวแบบผกผันที่ไม่เชิงเส้นได้

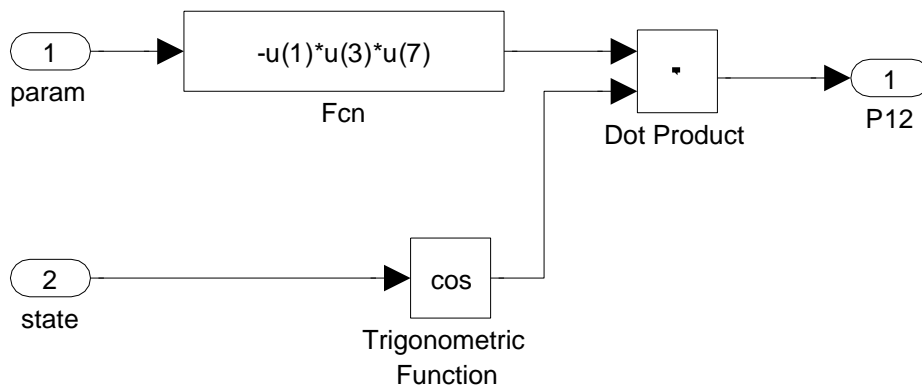
6.3 ทดลองใช้กับระบบจริง

จากนั้นเราจึงนำตัวควบคุมดังกล่าวมาใช้กับระบบจริง โดยจากรูป 6.8 นั้นแสดงการควบคุมในระบบจริงไว้อย่างชัดเจน คือ มีอัตราส่วนของการควบคุมและการป้อนกลับเท่ากับ 75Hz สัญญาณควบคุมมีค่าเป็นขั้นไม่ต่อเนื่อง 256 ระดับมีค่าตั้งแต่ -3 ถึง $3 \text{ N} \cdot \text{m}$ และสัญญาณควบคุมที่มีค่ามากกว่า $3 \text{ N} \cdot \text{m}$ หรือน้อยกว่า $-3 \text{ N} \cdot \text{m}$ จะถูกจำกัดขอบเขตไม่เกิน 3 และ $-3 \text{ N} \cdot \text{m}$ ตามลำดับ ในการทดลองควบคุมระบบนั้นทดลองทำควบคู่กับการแกว่งเพนดูลัมขึ้นอัตโนมัติโดยใช้วิธีอย่างง่ายคือ จากเพนดูลัมที่อยู่ ณ สถานะพักที่จุดต่ำสุด เพิ่มพลังงานให้แก่งเพนดูลัมทีละน้อยด้วยการแกว่งจานหมุนเพิ่มเมื่อแก่งเพนดูลัมมีพลังงานจลน์สูงสุด (ประมาณว่าเป็นจุดต่ำสุดของการแกว่งแก่งเพนดูลัม) จนกระทั่งแก่งเพนดูลัมมีพลังงานศักย์มากพอที่จะควบคุมแก่งเพนดูลัมให้อยู่ตำแหน่งศูนย์ (ด้านบนสุด) จึงเริ่มกระบวนการควบคุมแก่งเพนดูลัมโดยใช้ค่าอัตราขยายตัวควบคุมที่ออกแบบไว้ ในที่นี้กำหนดให้มุมบนสุดของการแกว่งแก่งเพนดูลัมมีค่าเบี่ยงเบนไม่เกิน 5 องศา

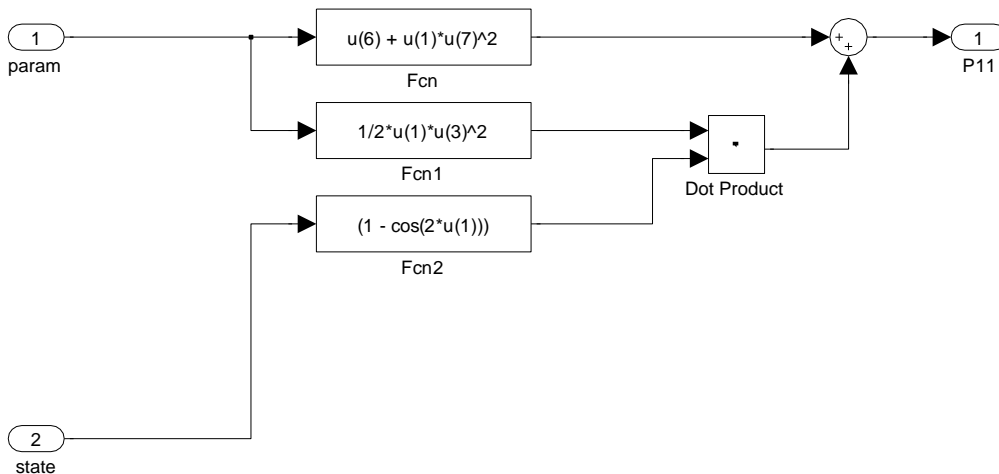
รูป 6.11 และ 6.13 แสดงถึงมุมของแก่งเพนดูลัมและจานหมุนในขณะที่มีการแกว่งแก่งเพนดูลัมขึ้นอัตโนมัติตามวิธีข้างต้น หลังจากนั้นเมื่อแก่งเพนดูลัมแกว่งขึ้นได้มุมที่เหมาะสมระบบควบคุมจึงเปลี่ยนมาเป็นการควบคุมแก่งเพนดูลัมให้อยู่ในตำแหน่งสูงสุดด้วยวิธี LQR ซึ่งมีผลตอบสนองดังรูป 6.12 และ 6.14 ตามลำดับ สังเกตได้ว่าระบบจริงกับระบบจำลองนั้นมีผลตอบสนองทางเวลาของการควบคุมไม่เท่ากัน ระบบจริงให้ผลตอบสนองที่ช้ากว่าเนื่องจากการจำลองระบบมีการตัดแรงเสียดทานบางส่วนออกไปจึงทำให้ระบบมีความหน่วงจริงมากกว่าระบบที่จำลองขึ้น



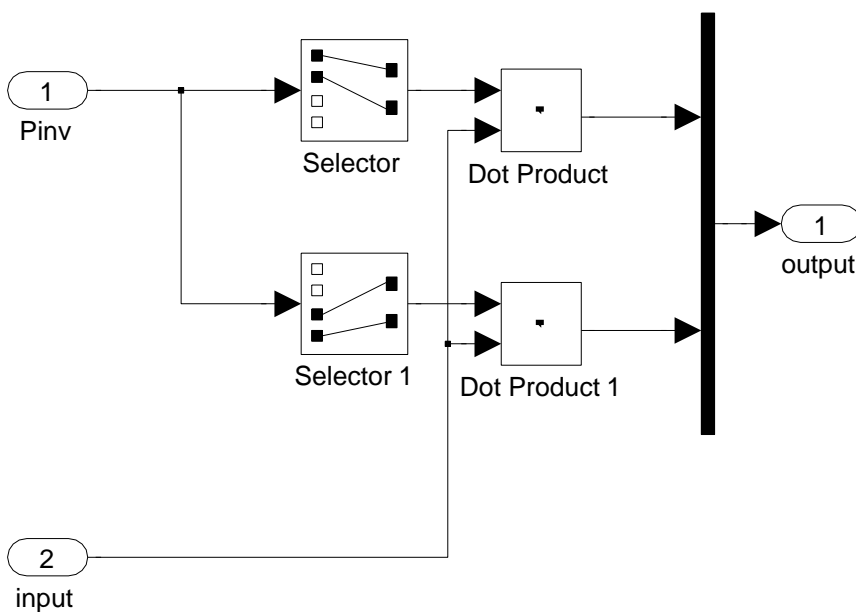
รูปที่ 6.1: แผนภาพแสดงแบบจำลองของระบบเพนดูลัมไม่เชิงเส้น



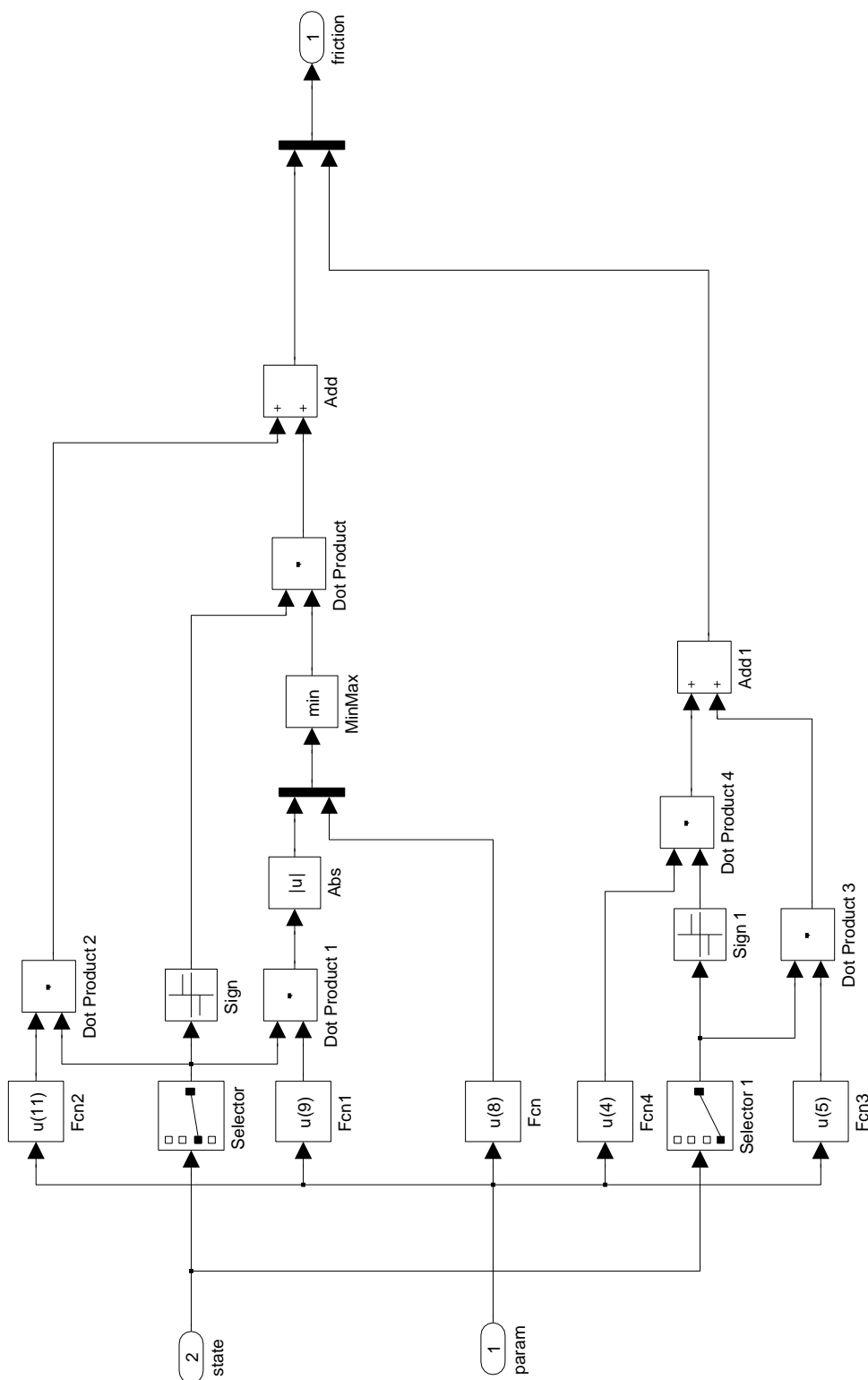
รูปที่ 6.3: แผนภาพย่อย 1-2 ของแบบจำลองของระบบเพนดูลัมไม่เชิงเส้น (P12)



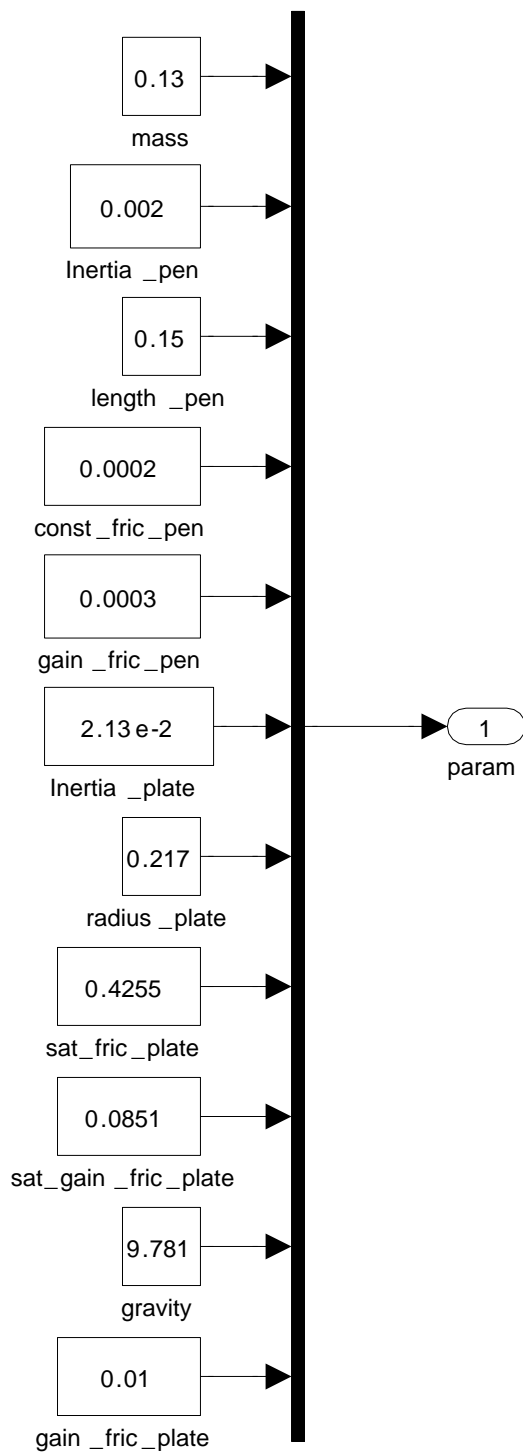
รูปที่ 6.4: แผนภาพย่อย 1-1 ของแบบจำลองของระบบเพนดูลัมไม่เชิงเส้น (P11)



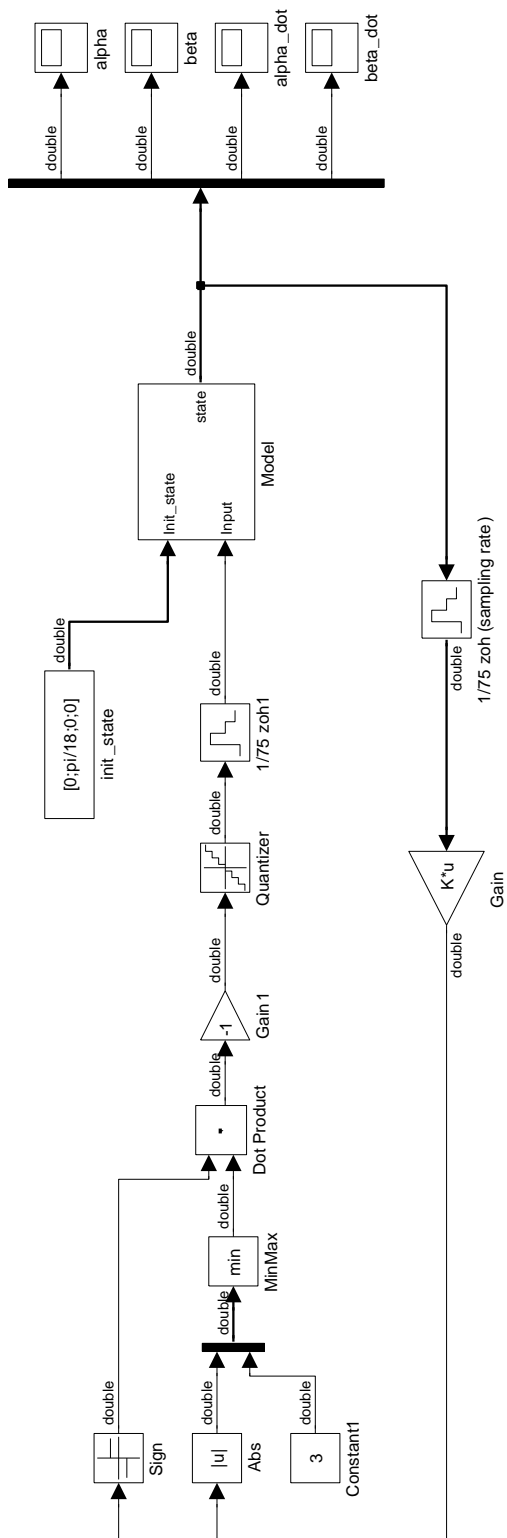
รูปที่ 6.5: แผนภาพย่อย 2 ของแบบจำลองของระบบเพนดูลัมไม่เชิงเส้น (MultiplyMatrix)



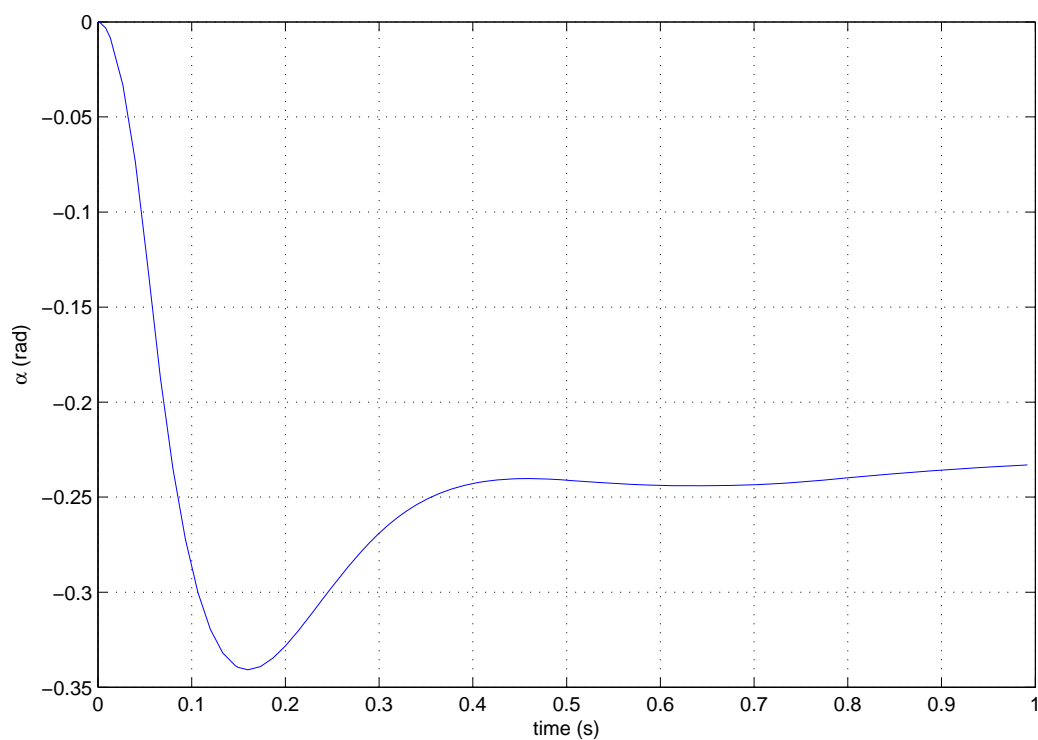
รูปที่ 6.6: แผนภาพย่อย 3 ของแบบจำลองของระบบเพนดูลัมไม่เชิงเส้น (Friction)



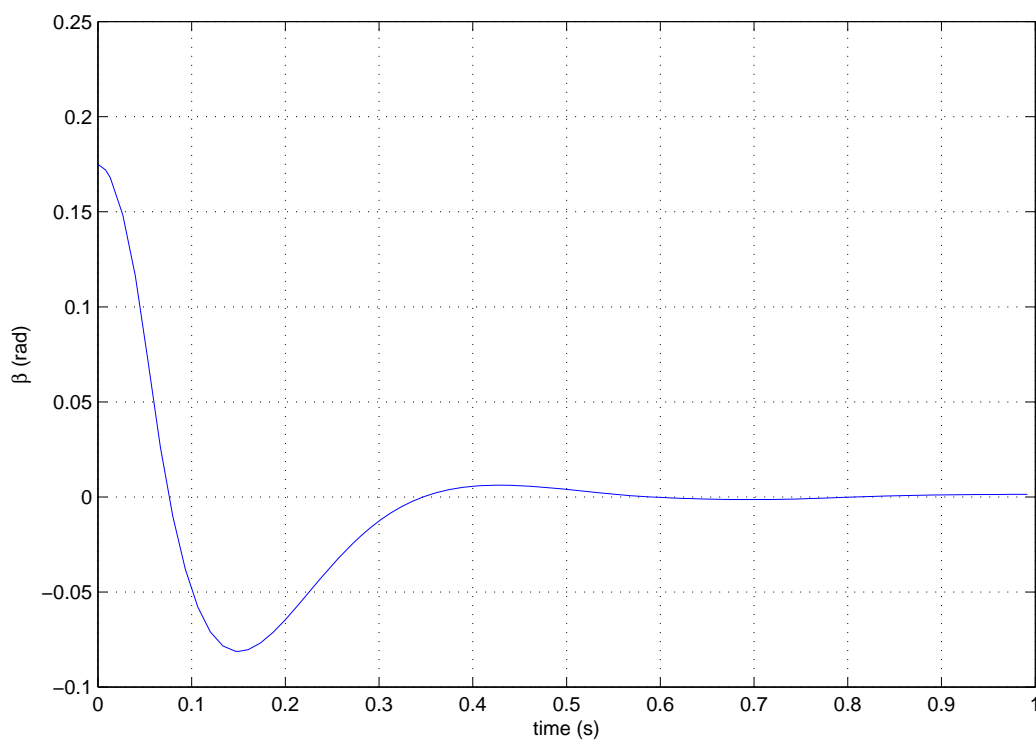
รูปที่ 6.7: แผนภาพย่อย 4 ของแบบจำลองของระบบเพนดูลัมไม่เชิงเส้น (Param)



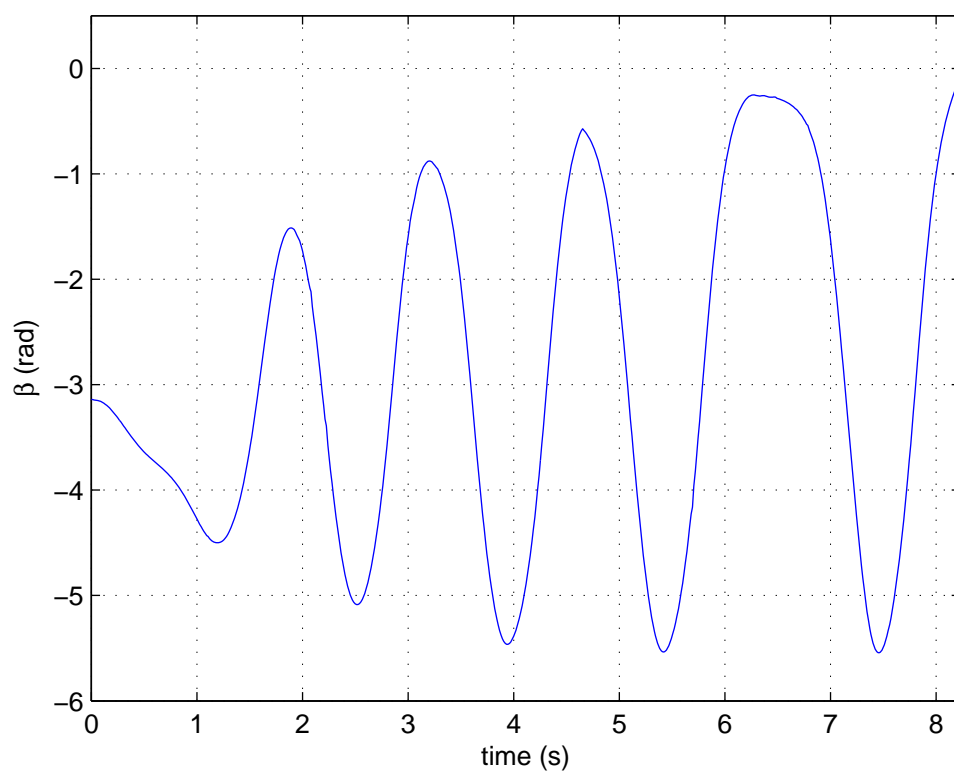
รูปที่ 6.8: แผนภาพแสดงการจำลองการควบคุมระบบเพนดูลัมไม่เชิงเส้น



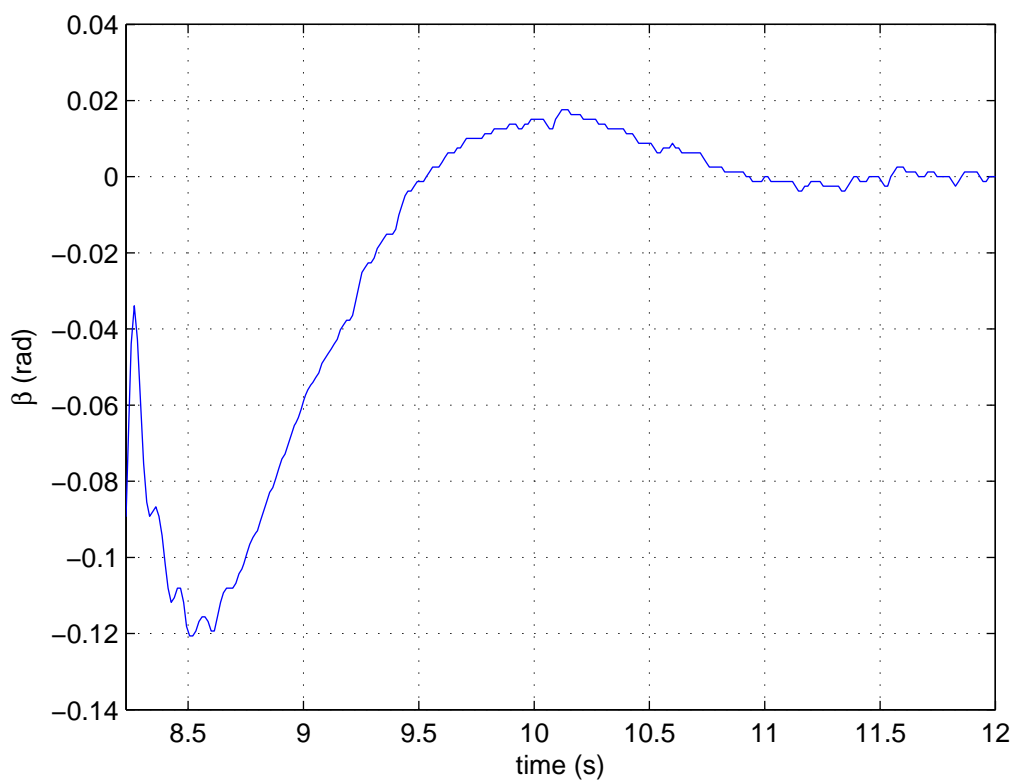
รูปที่ 6.9: การจำลองผลตอบสนองของมุมงานหมุนของการควบคุมแท่งเพนดูลัมแบบผกผันที่มีมุมเบี่ยงเบนเริ่มต้น $\pi/18$



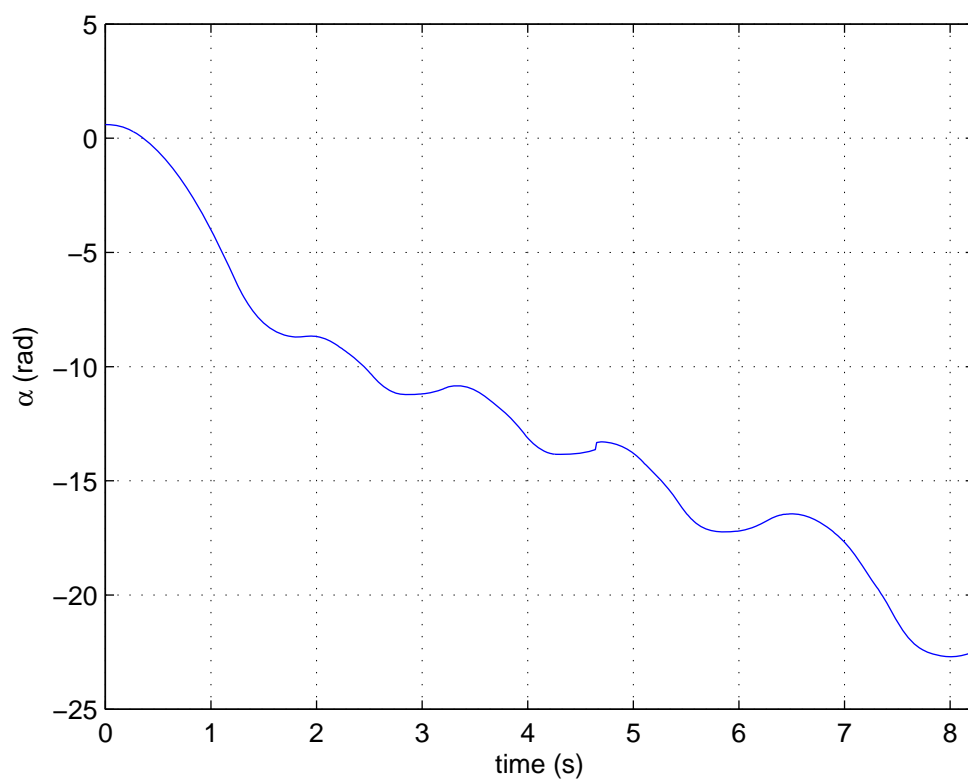
รูปที่ 6.10: การจำลองผลตอบสนองของมุมแท่งเพนดูลัมของการควบคุมแท่งเพนดูลัมแบบผกผันที่มีมุมเบี่ยงเบนเริ่มต้น $\pi/18$



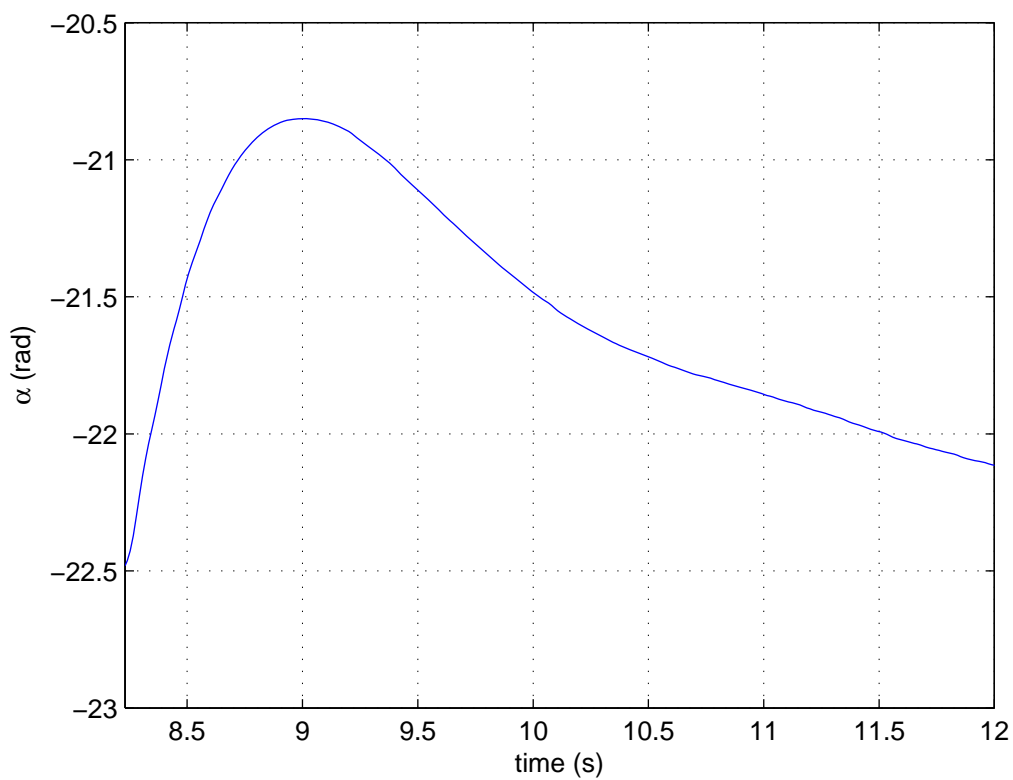
รูปที่ 6.11: ผลตอบสนองมุมแกว่งเพนดูลัมช่วงการแกว่งแกว่งเพนดูลัมขึ้นด้วยการเพิ่มพลังงานทีละน้อย



รูปที่ 6.12: ผลตอบสนองมุมแกว่งเพนดูลัมช่วงการควบคุมแกว่งเพนดูลัมขึ้นด้วยอัตราการป้อนกลับที่คำนวณได้



รูปที่ 6.13: ผลตอบสนองมุมของงานหมุนเฟนดูลัมช่วงการแกว่งแท่งเฟนดูลัมขึ้นด้วยการเพิ่มพลังงานทีละน้อย



รูปที่ 6.14: ผลตอบสนองมุมของงานหมุนเฟนดูลัมช่วงการควบคุมแท่งเฟนดูลัมขึ้นด้วยอัตราการป้อนกลับที่คำนวณได้

บทที่ 7

บทสรุป

งานวิจัยนี้ได้นำเสนอชุดทดลองเพนดูลัมผกผันคู่แบบหมุน (rotary double inverted pendulum) ซึ่งมีความซับซ้อนและมีความไม่เชิงเส้นสูง (high nonlinearity) เหมาะสำหรับการศึกษา ทฤษฎีระบบควบคุมขั้นสูง โดยได้นำเสนอส่วนของการสร้างฮาร์ดแวร์ วัสดุ อุปกรณ์ที่ใช้ ซึ่งหาได้ใน ประเทศและมีราคาไม่แพง นอกจากนี้ ยังได้นำเสนอซอฟต์แวร์สำหรับจำลอง พฤติกรรมการทำงานของระบบ ที่มีส่วนติดต่อกับผู้ใช้แบบกราฟิก (graphical user interface) และการออกแบบตัวควบคุมโดยใช้วิธีควบคุมแบบเหมาะสมที่สุด (linear optimal quadratic regulator)

7.1 สิ่งที่ได้ทำแล้ว

- ออกแบบ และทำอุปกรณ์ภายในระบบที่มีเสถียรภาพและเหมาะสมกับการทดลองมากกว่าเดิม และรองรับการประยุกต์ได้หลายแบบ
- การจำลองการควบคุมระบบ โดยใช้การควบคุมแบบ Optimal Control
- ออกแบบระบบควบคุมที่สามารถควบคุมเพนดูลัมผกผันคู่แบบหมุนแท่งเดียวได้ และสามารถแกว่งแท่งเพนดูลัมขึ้นเองได้ด้วยวิธีอย่างง่าย

ในรายงานฉบับนี้มีความก้าวหน้าที่สำคัญ คือ การออกแบบระบบควบคุมของเพนดูลัมผกผันคู่แบบหมุนที่มีความมั่นคง และมีกำลังขับสูง เนื่องจากการเปลี่ยนตัวขับเคลื่อนของระบบมาเป็นมอเตอร์ขนาดใหญ่มีกำลังสูงถึง 3 N – m นอกจากนั้นยังใช้ตัวควบคุมของระบบเป็นระบบฝังตัว คือเป็นไมโครคอนโทรลเลอร์ ARM7 ซึ่งทำงานได้สูงถึง 60 MHz ระบบที่ออกแบบนี้มีความคล่องตัวของการใช้งานสูง เนื่องจากแยกวงจรเซนเซอร์และวงจรควบคุมออกจากกัน และติดต่อกันผ่านทางสัญญาณอินฟราเรดทำให้ไม่มีปัญหาการบิดของสายสัญญาณจากการหมุนของตัวขับเคลื่อนเพนดูลัมอย่างที่เคยมีในระบบเก่า ชุดทดลองควบคุมนี้สามารถใช้ควบคุมเพนดูลัมแบบผกผันตั้งแต่ 1 แท่งถึง 2 แท่งได้ โดยการโปรแกรมตัวควบคุมที่เหมาะสม และสามารถอ่านค่าสถานะของการควบคุมที่เวลาต่างๆกลับมายังคอมพิวเตอร์ได้ทางพอร์ตอนุกรม RS-232 ระบบเพนดูลัมผกผันคู่แบบหมุนนี้เป็นส่วนหนึ่งในงานจัดแสดงงานจุฬาฯวิชาการครั้งที่ 15 ปี 2551

7.2 สิ่งที่จะต้องทำในอนาคต

หาพารามิเตอร์ของระบบและการออกแบบตัวควบคุมสำหรับเพนดูลัมแบบคู่ เพื่อปรับปรุงประสิทธิภาพของตัวควบคุมให้ดียิ่งขึ้นและพัฒนาคอร์สแวร์ที่มีเนื้อหาครอบคลุมการหา เอกลักษณ์ของระบบ (system identification) การทดสอบแบบจำลอง (model validation) การออกแบบตัวควบคุมขั้นสูง สำหรับใช้ในการฝึกอบรมบุคลากรด้านเทคโนโลยีระบบควบคุมได้ต่อไป

รายการอ้างอิง

- [1] S. Mori, H. Nishihara, and K. Furuta. Control of unstable mechanical system control of pendulum. International Journal of Control 23, 5(1976): 673–692.
- [2] K. Furuta, M. Yamakita, and S. Kobayashi. Swing up control of inverted pendulum. In Industrial Electronics, Control and Instrumentation, 1991. Proceedings. IECON '91., 1991 International Conference on, pp. 2193–2198 vol.3, 1991.
- [3] K. Astrom. Swinging up a pendulum by energy control. Automatica 36, 2February 2000: 287–295.

ภาคผนวก

ภาคผนวก ก

C-ARM Program

ก.1 ไฟล์ 'Main.c'

```
#include <LPC214x.h>
#include <stdio.h>
#include <stdlib.h>
#include "init.h"
5 #include "uart/uart.h"
#include "adc/adc.h"
#include "nsk/nsk.h"
#include "uart/command.h"
#include "control/control.h"
10
#define AD0GSR      (*((volatile unsigned long *) 0xE0034008))

unsigned char init_dis = 0;
unsigned short enc0, temp;
15 unsigned long enc_m, start_alpha;
unsigned char status = 0x00;
// bit
// 0 - printf enable
// 1 - | 0 = idle,          1 = iden friction plate
20 // 2 | 2 = iden plate,   3 = iden pendulum
// 3 | 4 = operate       5 = step response
// 4 | 6 = control crane

extern unsigned long timeval; // encoder position
25 extern unsigned short enc0_h;
extern signed char vel_ana; // velocity read form analog channel

void control_loop (void);
void check_sum (char datc);
30 void read_enc (void);

int main (void)
{
    unsigned char i;
35    unsigned char timechar = 0x00;
    unsigned int timetemp = 0x0000;
    unsigned char input;
    signed int preinput, old_enc0, err, enc0d, enc_md = 0;
    signed long old_enc_m = 0, temp;
40    unsigned char stop_count;
    signed short regulate_point = 2500;
```

```

init();

45  clr_rstflp();
    for (i=0;i<255;i++);
    set_rstflp();
    clr_precnt();
    set_rstcnt();
50  for (i=0;i<255;i++);
    clr_rstcnt();

    cnt0_en();
    uart0_com();
55  NSK_init();
    printf(menu);
    upd_dac(0x80);
    while(1){
        // check IR every loop
60    if (rx1_avail()) {
            check_sum(U1RBR);
        }

        // check for command every loop
65    check_cmd();
        // operate mode
        if ((status & 0x0E) == 0x08){
            if (timechar == 0x00)
            {
70                sendchar('.');
            }
        }

        // iden friction plate
        if ((status & 0x0E) == 0x02){
75            if ((timetemp & 0x01F) == 0x00){
                if (init_dis == 0){
                    init_iden_plate();
                    init_dis = 1;
                }
80            vel_ana = ((AD0GDR & 0x0000FF00) >> 8);
                vel_ana -= 128;
                input = (unsigned char)(rand() >> 23);
                upd_dac(input);
                read_enc();
85            conversion_adc();
                if ((status & 0x01) != 0)
                    printf("%d %d\n",input,enc_m);

```

```

    }
}
90 // step response mode
if ((status & 0x0E) == 0x0A){
    if ((timetemp & 0x07FF) == 0x0000){
        input = 0x68;
        upd_dac(input);
95     }
    if ((timetemp & 0x07FF) == 0x03FF){
        input = 0xB0;
        upd_dac(input);
    }
100    if ((timetemp & 0x01F) == 0x00){
        if (init_dis == 0){
            init_iden_plate();
            input = 0x50;
            upd_dac(input);
105            init_dis = 1;
        }
        vel_ana = ((AD0GDR & 0x0000FF00) >> 8);
        vel_ana -= 128;
        read_enc();
110        conversion_adc();
        if ((status & 0x01) != 0)
            printf("%d %d\n",input,enc_m);
    }
}
115 // control crane mode
if ((status & 0x0E) == 0x0C){
    if ((timetemp & 0x01F) == 0x00){
        if (init_dis == 0){
            read_enc();
120            init_iden_plate();
            input = 0x84;
            upd_dac(input);
            init_dis = 1;
            start_alpha = enc_m;
125            old_enc_m = (signed long)*(&enc_m);
        }
        read_enc();
        temp = (signed long)*(&enc_m);
        err = -(signed short)*(&enc0);
130        enc0d = (enc0 - old_enc0);
        old_enc0 = enc0;
        enc_md = (signed short)(temp - old_enc_m);
        old_enc_m = temp;

```

```

preinput = (signed short)(-(-2*err - 0.25*enc_md + 5*enc0d)/8);
135
if (preinput < 0)
    preinput -= 7;
else {
    if (preinput > 0)
140        preinput += 7;
    }

if (preinput > 127)
    preinput = 127;
145 else {
    if (preinput < -128)
        preinput = -128;
    }
input = (unsigned char)(preinput + 128);
upd_dac(input);
150 if ((status & 0x01) != 0)
    printf("%d\n",enc0);
if (((signed short)*(&enc0) > 1250)
    || ((signed short)*(&enc0) < -1250)){
155    stop_count++;
    if (stop_count > 3) {
        status = 0x00;
        init_dis = 0;          // initialize parameter
        for (i=0;i<MAX_CMD;i++)
160            cmd_line[i] = 0;
        i = 0;
        sendchar(0x0D);sendchar(0x0A);sendchar(':');
        stop_count = 0;
    }
165 }
else {
    stop_count = 0;
}
}

170 }
// control pendulum mode
if ((status & 0x0E) == 0x0E){
    if ((timetemp & 0x01F) == 0x00){
        if (init_dis == 0){
175            read_enc();
            init_iden_plate();
            input = 0x84;
            upd_dac(input);
            init_dis = 1;

```

```

180         start_alpha = enc_m;
           old_enc_m = (signed long)*(&enc_m);
       }
       read_enc();
       temp = (signed long)*(&enc_m);
185       err = regulate_point -(signed short)*(&enc0);
       enc0d = (enc0 - old_enc0);
       old_enc0 = enc0;
       enc_md = (signed short)(temp - old_enc_m);
       old_enc_m = temp;
190       // -0.0011  0.7743  -0.1188  9.7468
       //preinput = (signed short)( -0.25*err - 0.03*enc_md + 5*enc0d);
       preinput = (signed short)( -0.27*err - 0.03*enc_md + 6*enc0d);
       //preinput = (signed short)(( -2.5*err - 0.25*enc_md + 15*enc0d)/8);
       //preinput = (signed short)(( -5.2*err + 2*enc_md + 75*enc0d));
195       /*
       if (preinput < 0)
           preinput -= 7;
       else {
           if (preinput > 0)
200             preinput += 7;
       }
       */
       if (preinput > 127)
           preinput = 127;
205       else {
           if (preinput < -128)
               preinput = -128;
       }
       input = (unsigned char)(preinput + 128);
210       upd_dac(input);
       if ((status & 0x01) != 0)
           printf("%d %d %d\n",preinput,enc0,enc_m);
       if ((enc0 > 3800) || (enc0 < 1200)){
           stop_count++;
215           if (stop_count > 3) {
               status = 0x00;
               init_dis = 0;           // initialize parameter
               for (i=0;i<MAX_CMD;i++)
                   cmd_line[i] = 0;
220               i = 0;
               sendchar(0x0D);sendchar(0x0A);sendchar(' ');
               stop_count = 0;
           }
       }
225       else {

```



```

    }
    input = (unsigned char)(preinput + 128);
    upd_dac(input);
275     if ((status & 0x01) != 0)
        printf("%d %d %d\n",preinput,enc0,enc_m);
    }
}
// iden pendulum mode
280 if ((status & 0x0E) == 0x06){
    read_enc();
    if ((timetemp & 0x01F) == 0x00){
        if (init_dis == 0){
            init_iden_plate();
285             input = 0x40;
            upd_dac(input);
            init_dis++;
        }
        else {
290             if (init_dis < 6)
                init_dis++;
            else {
                input = 0x80;
                upd_dac(input);
295             }
        }
        vel_ana = ((AD0GDR & 0x0000FF00) >> 8);
        vel_ana -= 128;
        read_enc();
300        conversion_adc();
        if ((status & 0x01) != 0)
            printf("%d %d %.8x\n",input,enc0,enc_m);
    }
}
305 if (status == 0x00)
{
    upd_dac(128);
}
/*
310 // operate mode
if ((status & 0x06) == 0x06){
    // Do control once in 4 loop
    if (timechar == 0x00)
    {
315        set_led();
        read_enc();
        vel_ana = (AD0GDR & 0x0000FF00) >> 8;

```

```

        control_loop();
        conversion_adc();
320         if ((status & 0x01) != 0){
                printf("`%X %X %X\n",enc0,enc_m,vel_ana);
        }
    }
}
*/
325 if (timechar == 0x00)
        set_led();
    if (timechar == 0x02)
        clr_led();
330 while(timeval == timetemp);
    timetemp = timeval;
    timechar = timetemp & 0x03;
}
}
335 void check_sum (char datc)
{
    static char* p;
    static unsigned char intcnt = 0;
340 if (intcnt == 0)
    {
        if (datc == 0x55)
        {
            p = (char *)&temp;
345 p++;
            intcnt++;
        }
    }
    else
350 {
        if (intcnt < 3) // store data
        {
            *(p) = datc;
            sendchar1(datc);
355 sendchar1(' ');
            p--;
            intcnt++;
        }
        else
360 {
            if (((*(p+2)) ^ (*(p+1))) == datc) {
                enc0 = temp;
                //printf("`%X\n",enc0);
            }
        }
    }
}

```

```
        }  
365         intcnt = 0;  
        }  
    }  
}  
  
370 void read_enc (void)  
{  
    short* p;  
    p = (short *)&enc_m;  
    enc_m = FIO1PIN >> 16;  
375    *(p+1) = enc0_h;  
}  
  
void control_loop (void)  
{  
380    upd_dac(0x88);  
}
```

ก.2 ไฟล์ 'Init.c'

```

#include <LPC214x.h>
#include "init.h"
#include "timer/timer.h"
#include "pwm/pwm.h"
5 #include "ext/ext.h"
#include "uart/uart.h"
#include "adc/adc.h"

void PLL_init (void)          // OSC = 11.0592 (change to 55.296)
10 {
    PLLOCFG = 0x24;          // M = 5, CCLK = 55.296
                                // P = 3, 156 < Fcco = 55.296*2*2 = 221.184 < 320
    PLLOCON = 0x01;        // Lock Frequency by enable PLLE
    PLLOFEED = 0xAA;
15    PLLOFEED = 0x55;
    while((PLL0STAT & 0x0400) == 0x00); // Check bit 10 (Lock?)
    PLLOCON = 0x03;        // Connect to CCLK
    PLLOFEED = 0xAA;
    PLLOFEED = 0x55;
20    VPBDIV = 0x02;        // PCLK = 1/2 of CCLK (27.648)
}

void init_io (void)
{
25    SCS = 0x00000003;      // Enable Fast GPIO
    // P0.0, P0.1 = UART0
    PINSELO &= 0xFFFFFFFF;
    PINSELO |= 0x00000005;
    // P0.5 = MAT0.1
30    PINSELO &= 0xFFFF3FFF;
    PINSELO |= 0x00000800;
    // P0.7 = EINT2
    PINSELO &= 0xFFFF3FFF;
    PINSELO |= 0x0000C000;
35    // P0.8, P0.9 = UART1
    PINSELO &= 0xFFF0FFFF;
    PINSELO |= 0x00050000;
    // P0.15 = EINT2
    PINSELO &= 0x3FFFFFFF; // Note that in edge-detecting mode, we cannot use multiple EINT pin.
40    //PINSELO |= 0x80000000; // Then, we disable EINT2 on P0.15.
    // P0.25 = AOUT
    PINSEL1 &= 0xFFF3FFFF;
    PINSEL1 |= 0x00080000;
    // P0.28 = AD0.1
45    PINSEL1 &= 0xFCFFFFFF;

```

```
    PINSEL1 |= 0x01000000;
    // set IO direction output for P0.2,3,4,6,16,17,22,29,30,31
    FIODIR = 0xE043005C;
    FIO1DIR = 0x00000000;
50    PINSEL2 = 0x00000000;
    }

    void init (void)
    {
55        PLL_init();
        // pre-relay
        open_relay();
        init_io();
        init_timer();
60        init_pwm();           // init value is 50% at 864k Hz
        init_eint();
        init_uart0();
        init_uart1();
        init_adc();
65        init_dac();
    }
```

ก.3 ไฟล์ 'Init.h'

```

#ifndef _INIT_H_
#define _INIT_H_

// Port1 = Data From Encoder
5 // Counter and Flip-Flop control pin
#define clr_rstflp() FIOCLR = 0x00400000 // clear P0.22
#define set_rstflp() FIOSET = 0x00400000 // set P0.22
#define clr_precnt() FIOCLR = 0x00000004 // clear P0.2
#define set_precnt() FIOSET = 0x00000004 // set P0.2
10 #define clr_rstcnt() FIOCLR = 0x00000008 // clear P0.3
#define set_rstcnt() FIOSET = 0x00000008 // set P0.3

#define cnt0_en() FIOCLR = 0x00000010 // clear P0.4 : Counter output enable
#define cnt_dis() FIOSET = 0x00000010 // set P0.4
15

#define clr_cw() FIOCLR = 0x00010000 // clear P0.16 : CW
#define set_cw() FIOSET = 0x00010000 // set P0.16

#define clr_ccw() FIOCLR = 0x00020000 // clear P0.17 : CCW
20 #define set_ccw() FIOSET = 0x00020000 // set P0.17

#define clr_svon() FIOCLR = 0x40000000 // clear P0.30 : SVON
#define set_svon() FIOSET = 0x40000000 // set P0.30

25 #define open_relay() FIOSET = 0x20000000 // clear P0.29 : p-transistor gate close, -12V to N-fet gate close
#define close_relay() FIOCLR = 0x20000000 // (close-circuit)

#define clr_led() FIOCLR = 0x80000000 // clear P0.31 : Auxiliary LED
#define set_led() FIOSET = 0x80000000 // set P0.31
30

#define read_carry() (IOPIN & 0x00000080) == 0x00000080 //: P0.7
#define read_dir() (IOPIN & 0x00000400) == 0x00000400 //: P0.10
#define read_z() (IOPIN & 0x00002000) == 0x00008000 //: P0.13

35 void init (void);

#endif

```

ก.4 ไฟล์ ‘/uart/uart.c’

```

#include <LPC214X.h>
#include <STDIO.H>
#include "uart.h"
#include "command.h"

5
extern unsigned char init_dis;
extern unsigned char status;

void init_uart0 (void)
10 {
    UOIER = 0x00;           // disable transmit and receive interrupt
    UOLCR = 0x03;          // set length to 8 bit
    UOLCR |= 0x80;
    UODLM = 0x00;
    UODLL = 0x0F;          // not use U1FDR (115200)
    UOLCR &= 0x07;
    UOTER = 0x80;         // transmit enable
    UOFCR = 0x07;         // enable FIFO, TX FIFO Reset, RX FIFO Reset
}

20
void uart0_115200 (void)
{
    UOLCR |= 0x80;
    UODLL = 0x0F;         // Not divided by 12 (115200)
25    UOLCR &= 0x07;
}

void uart0_9600 (void)
{
30    UOLCR |= 0x80;
    UODLL = 0xB4;         // divided by 12 (9600)
    UOLCR &= 0x07;
}

35
void init_uart1 (void)
{
    U1IER = 0x00;         // disable transmit and receive interrupt
    U1LCR |= 0x80;
    U1DLM = 0x00;
    U1DLL = 0x1E;         // not use U1FDR (57600)
40    //U1DLL = 0x5A;      // not use U1FDR (19200)
    U1LCR &= 0x07;
    U1LCR = 0x03;         // set length to 8 bit
    U1TER = 0x80;         // transmit enable
45    U1FCR = 0x07;         // enable FIFO, TX FIFO Reset, RX FIFO Reset
}

```

```

}

int sendchar (int ch)
{
50  if (ch == '\n')
    {
        while ((U0LSR & 0x20) == 0x00);           // Wait TXD Buffer Empty
        U0THR = CR;                               // Write CR
    }
55  while ((U0LSR & 0x20) == 0x00);           // Wait TXD Buffer Empty
    return (U0THR = ch);                          // Write Character
}

int getkey (void)
60  {
    while ((U0LSR & 0x01) == 0x00);           // Wait RXD Receive Data Ready
    return (U0RBR);                             // Get Receive Data & Return
}

65  int sendchar1 (int ch)
    {
        if (ch == '\n')
            {
                while ((U1LSR & 0x20) == 0x00);           // Wait TXD Buffer Empty
70        U1THR = CR;                               // Write CR
            }
        while ((U1LSR & 0x20) == 0x00);           // Wait TXD Buffer Empty
        return (U1THR = ch);                      // Write Character
    }

75  int getkey1 (void)
    {
        while ((U1LSR & 0x01) == 0x00);           // Wait RXD Receive Data Ready
        return (U1RBR);                          // Get Receive Data & Return
80  }

int readint1 (void)
{
    int dat;
85  char* p;
    p = (char *)&dat;
    *(p+1) = getkey1();
    *(p) = getkey1();
    return(dat);
90  }

```

```

void intwrite1 (int dat)
{
    char* p;
95     p = (char *)&dat;
        sendchar1(*(p+1));
        sendchar1(*(p));
}

100 void printline (unsigned char *p, unsigned char length){
    unsigned char i = 0;
    unsigned char temp;
    do{
        temp = *(p+i);
105     sendchar(temp);
        i++;
    } while ( ( i < length) && (temp != LF) );
}

110 void readline (unsigned char *p, unsigned char length){
    unsigned char i = 0;
    unsigned char temp;
    do{
        temp = getkey();
115     *(p+i) = temp;
        i++;
    } while ( ( i < length) && (temp != LF) );
}

120 unsigned char uart0_com (void) {
    unsigned char temp;
    //waiting for the shift register is empty
    while((UOLSR & 0x40) == 0);
    //clear all buffer
125     while((UOLSR & 0x01) != 0){
        temp = UORBR;
    }
    // select port connect to com by set P0.6
    FIOSET = 0x00000040;
130     uart0_115200();
    return(temp);
}

unsigned char uart0_drv (void){
135     unsigned char temp;
    //waiting for the shift register is empty
    while((UOLSR & 0x40) == 0);

```



```

185         if (esc_line == 1){
            if (temp == 0x5B)
                esc_line = 2;
            else
                esc_line = 0;
        } else {
190         if (esc_line == 2){
            switch (temp) {
                case 'C':
                    if (i != (MAX_CMD-1)){
                        if (cmd_line[i] == 0)
195                             cmd_line[i] = 0x20;
                            i++;
                            sendchar(0x1B);sendchar(0x5B);sendchar('C');
                    }
                    break;
                case 'D':
                    if (i != 0){
                        if (cmd_line[i] == 0)
205                             cmd_line[i] = 0x20;
                            i--;
                            sendchar(0x1B);sendchar(0x5B);sendchar('D');
                    }
                    break;
            }
            esc_line = 0;
        } else {
210         cmd_line[i] = temp;
            sendchar(temp);
            i++;
        }
    }
215 }
}
} else {
220     printf("\ncommand too long\n");
    for (i=0;i<MAX_CMD;i++)
        cmd_line[i] = 0;
    i = 0;
}
}
225 }
}

void process_cmd (unsigned char *p){
    unsigned char temp,i,j;

```

```

230     unsigned char k[CMD_CNT];
        for (i=0;i<CMD_CNT;i++)
            k[i] = i;
        for (i=0;i<MAX_CMD;i++){
            temp = *(p+i);
235         *(p+i) = 0;
            if (temp == 0)
                temp = SPC;
            for (j=0;j<CMD_CNT;j++){
                if (!(temp == cmd_table[(j<<3)+i]) || (temp == (cmd_table[(j<<3)+i]+0x20))))
240                 k[j] = 0xFF;
            }
            if (temp == SPC)
                break;
        }
245     temp = num_cmd(k);
        switch (temp){
            case 0:
                command_0 (cmd_line,i);
                break;
250         case 1:
                printf("\n");
                printf("2nd cmd\n");
                break;
            case 2:
255         printf("\n");
                printf("3rd cmd\n");
                break;
            case 3:
                command_3 (cmd_line,i);
260         break;
            case 4:
                command_4 (cmd_line,i);
                break;
            case 255:
265         printf("\n");
                printf("unknown command\n");
                break;
        }
    }
270     unsigned char num_cmd (unsigned char *p){
        unsigned char i;
        unsigned char temp;
        temp = 0xFF;
275         for (i=0;i<CMD_CNT;i++){

```

```
        if (*(p+i) != 0xFF)
            temp = *(p+i);
    }
    return temp;
280 }
```

ก.5 ไฟล์ ‘/uart/uart.h’

```

#ifndef _UART_H_
#define _UART_H_

#define CR 0x0D    // Carriage Return
5 #define LF 0x0A    // Line Feed
#define SPC 0x20    // Space

#define wait_uart1() while((U1LSR & 0x01) == 0x00)
#define wait_uart0() while((U0LSR & 0x01) == 0x00)
10 #define rx1_avail() (U1LSR & 0x01) == 0x01

extern const char menu[];

void init_uart0 (void);
15 void uart0_115200 (void);
void uart0_9600 (void);
void init_uart1 (void);
int sendchar (int ch);
int getkey (void);
20 int sendchar1 (int ch);
int getkey1 (void);
int readint1 (void);
void intwrite1 (int dat);
void printline (unsigned char *p, unsigned char length);
25 void readline (unsigned char *p, unsigned char length);
unsigned char uart0_com (void);
unsigned char uart0_drv (void);
void check_cmd (void);
void process_cmd (unsigned char *p);
30 unsigned char num_cmd (unsigned char *p);

#endif

```



```

switch (temp) {
    case 'Y': case 'y':
        status |= 0x01;
        printf(" > enabled\n");
50         return 1;
    case 'N': case 'n':
        status &= ~0x01;
        printf(" > disabled\n");
        return 1;
55     default :
        printf("\nPRINT : invalid param, only Y/N is allowed\n");
        return 0;
}
}
60
unsigned char command_3 (unsigned char *p,unsigned char j){
    unsigned char temp,k;
    unsigned int i;

65     uart0_drv();

    do {
        temp = *(p+j);
        *(p+j) = 0;
70         j++;
    }while((temp == 0)|| (temp == SPC));
    if (temp > 0x60)
        temp -= 0x20;
    sendchar(temp);
75     getkey();

    for (i=j;i<MAX_CMD;i++){
        temp = *(p+i);
        if (!(temp == 0) || (temp == SPC)) {
80             k = i;
        }
    }

    for (i=j;i<(k+1);i++){
85         temp = *(p+i);
        *(p+i) = 0;
        if (temp > 0x60)
            temp -= 0x20;
        sendchar(temp);
90         getkey();
    }
}

```

```

sendchar(0x0D);
i = 0;
do{
95     temp = getkey();
        i++;
}while ((temp != ':' ) && (i < 1000));

if (i == 1000){
100     i = 0;
        sendchar(0x08);
        do{
            temp = getkey();
            i++;
105     }while ((temp != ':' ) && (i < 1000));
        }
for (i = 0; i < 65535; i++){
uart0_com();
if (i == 1000){
110     printf(" : fail\n");
        return 0;
    } else {
        printf(" : succeed\n");
        return 1;
115     }
    }
}

unsigned char command_4 (unsigned char *p,unsigned char j){
    unsigned char temp,tempp,i;
120     do {
        temp = *(p+j);
        *(p+j) = 0;
        j++;
    }while((temp == 0)|| (temp == SPC));

125     for (i=j;i<MAX_CMD;i++){
        temp = *(p+i);
        *(p+i) = 0;
        if (!(temp == 0) || (temp == SPC)) {
130             temp = 0xFF;
        }
    }
}

switch (temp) {
135     case '0':
        status &= 0xF1;
        printf(" : idle\n");

```

```
        return 1;
    case '1':
140         status &= 0xF1;
            status |= 1 << 1;
            printf(" : iden friction plate\n");
            return 1;
    case '2':
145         status &= 0xF1;
            status |= 2 << 1;
            printf(" : iden plate\n");
            return 1;
    case '3':
150         status &= 0xF1;
            status |= 3 << 1;
            printf(" : iden pendulum\n");
            return 1;
    case '4':
155         status &= 0xF1;
            status |= 4 << 1;
            printf(" : operate\n");
            return 1;
    case '5':
160         status &= 0xF1;
            status |= 5 << 1;
            printf(" : step response\n");
            return 1;
    case '6':
165         status &= 0xF1;
            status |= 6 << 1;
            printf(" : control crane\n");
            return 1;
    case '7':
170         status &= 0xF1;
            status |= 7 << 1;
            printf(" : control pendulum\n");
            return 1;
    case '8':
175         status &= 0xF1;
            status |= 8 << 1;
            printf(" : unstable pendulum\n");
            return 1;
    default :
180         printf("\nMODE : invalid mode\n");
            return 0;
}
}
```

ก.7 ไฟล์ '/uart/command.h'

```
#ifndef _COMMAND_H_
#define _COMMAND_H_

#define MAX_CMD 64
5 #define CMD_Len 8
#define CMD_CNT 5

extern unsigned char cmd_line[];
extern const char menu[];
10 extern const char cmd_table[];

unsigned char command_0 (unsigned char *p,unsigned char j);
unsigned char command_3 (unsigned char *p,unsigned char j);
unsigned char command_4 (unsigned char *p,unsigned char j);
15
#endif
```

ก.8 ไฟล์ '/timer/timer.c'

```

#include <LPC214x.h>           // LPC21XX Peripheral Registers
#include "timer.h"

unsigned long timeval;

5
/* Timer Counter 0 Interrupt executes each 10ms */
void tc0 (void) __irq
{
    ++timeval;
10    TOEMR &= 0xFFFF0;           // Clear MAT0.n on TOMR0 matched
    TOIR    = 1;                 // Clear interrupt flag
    VICVectAddr = 0;            // Acknowledge Interrupt
}

15 /* Setup the Timer Counter 0 Interrupt */
void init_timer (void)
{
    TOMR0 = 11519;               // 2400Hz = 11520 - 1 counts
    TOMR1 = 10000;              // same as MR0 used in adc.
20    TOEMR = 0x0080;           // enable to set high ON MAT0.1 when MR1 match
    TOMCR = 3;                  // Interrupt and Reset on MR0
    TOTCR = 1;                  // Timer0 Enable
    VICVectAddr0 = (unsigned long)tc0; // set interrupt vector in 0
    VICVectCntl0 = 0x20 | 4;    // use it for Timer 0 Interrupt
25    VICIntEnable |= 0x00000010; // Enable Timer0 Interrupt
}

```

ก.9 ไฟล์ '/timer/timer.h'

```
#ifndef _TIMER_H_
```

```
#define _TIMER_H_
```

```
void init_timer (void);
```

5

```
#endif
```

ก.10 ไฟล์ ‘/pwm/pwm.c’

```

#include <LPC214x.h>

void init_pwm (void)
{
5   PINSEL1 |= 0x00000400;           // select P0.21 as a PWM5 output
   PWMPCR = 0x2000;                 // enable PWM5 and select single edge control for PWM5
   PWMTC = 0x00000000;             // count register set = 0 at the beginning
   PWMPR = 0x00000000;             // count every (n+1)*PCLK cycles (every PCLK cycle)
   PWMMCR = 0x00000002;           // set PWMTC to reset if PWMMR0 is matched
10  PWMMR0 = 0x00000008;           // set period of the PWM to 128 count of PWMTC
   PWMMR5 = 0x00000004;           // set low-time of the PWM to 64 count of PWMTC
   PWMLER = 0x21;                 // update changing of PWMMR5 and PWMMR0
   PWMTCR = 0x09;                 // Enable PWM and run counter
}

15
void change_duty_cycle (unsigned char DC)
{
   PWMMR5 = (DC >> 1);           // divide value by 2
   PWMLER = 0x20;                 // update changing of PWMMR5
20 }

```

ก.11 ไฟล์ '/pwm/pwm.h'

```
#ifndef _PWM_H_
```

```
#define _PWM_H_
```

```
void init_pwm (void);
```

```
5 void change_duty_cycle (unsigned char DC);
```

```
#endif
```

ก.12 ไฟล์ '/NSK/nsk.c'

```

#include <LPC214X.H>
#include <STDIO.H>
#include "../uart/uart.h"
#include "../init.h"

5
unsigned char LINE_TEMP_1[16];
unsigned char LINE_TEMP_2[16];

void NSK_init(void){
10     unsigned long i;
     unsigned char INIT_NAME[16] = {'N','S','K',' ','M','E','G','A','T','O','R','Q','U','E',CR,LF};
     unsigned char temp;

    printf("NSK-ESA25 INIT : \n");
15     uart0_drv();

    // control relay of ESA25 here
    // delay
    for (i=1;i<27648000;i++);
20     close_relay();
    // wait for NSK init value
    while(1){
        temp = getkey();
        if (temp == SPC){
25             set_led();
            for (i=0;i<16;i++){
                temp = getkey();
                if (temp != INIT_NAME[i]){
                    break;
30                 }
            }
            if (i == 16) {
                readline(LINE_TEMP_1,16);
                readline(LINE_TEMP_2,16);
35                 temp = getkey();
                if (temp == ':') {
                    break;
                }
            }
40         }
    }
    clr_led();
    temp = i;
45

```

```
    uart0_com();  
    printline(LINE_TEMP_1,16);  
    printline(LINE_TEMP_2,16);  
    printf("ESA Init : Succeed %d\n",temp);  
50    sendchar(':');  
    set_svon();  
}
```

ก.13 ไฟล์ '/NSK/nsk.h'

```
#ifndef _NSK_H_
```

```
#define _NSK_H_
```

```
void NSK_init(void);
```

5

```
#endif
```

ก.14 ไฟล์ '/ext/ext.c'

```

#include <LPC214x.h>
#include "../init.h"

unsigned short enc0_h = 0;
5 signed long abs_pos = 0;

void ext2 (void) __irq
{
    unsigned char current_dir;
10    current_dir = read_dir();
        if(current_dir)
            enc0_h++;
        else
            enc0_h--;
15    EXTINT    = 0x04;           // Clear interrupt flag by writing '1' to it
    VICVectAddr = 0;           // Acknowledge Interrupt
}

void init_eint (void)
20 {
    EXTMODE = 0x04;           // set to edge-sensitive
    EXTPOLAR = 0x04;         // set to rising edge
    VICVectAddr1 = (unsigned long)ext2; // set Interrupt slot1 to ext2 function
    VICVectCntl1 = 0x20 | 16; // enable slot and be chosen for EINT2
25    VICIntEnable |= 0x00010000; // enable EINT2 interrupt
}

```

ก.15 ไฟล์ '/ext/ext.h'

```
#ifndef _EXT_H_
```

```
#define _EXT_H_
```

```
void init_eint (void);
```

5

```
#endif
```

ก.16 ไฟล์ '/control/control.c'

```
#include <LPC214X.H>
#include <STDIO.H>
#include "../uart/uart.h"

5 void init_iden_plate (void){
    uart0_drv();
    printf("/NSK ON\n");
    printf("FR0\n");           // set Feedback Resolution to 10 bit
    uart0_com();
10 }
```

ก.17 ไฟล์ '/control/control.h'

```
#ifndef _CONTROL_H_
```

```
#define _CONTROL_H_
```

```
void init_iden_plate (void);
```

5

```
#endif
```

ก.18 ไฟล์ '/adc/adc.c'

```

#include <LPC214x.h>
#include "adc.h"

signed char vel_ana;

5
void adc_routine (void) __irq
{
    vel_ana = (AD0GDR & 0x0000FF00) >> 8;
    VICVectAddr = 0;
10 }

void init_adc (void)
{
    AD0CR = 0x00241102; // Select AD0.1.
15 // Converting freq. is divided by (17+1).
    // Non-Burst mode, (8-bit accuracy if burst) (but now is 10-bit).
    // Operation.
    // Convert on MAT0.1 and rising edge.

20 //AD0INTEN = 0x00000002; // enable channel 1 interrupt
    //VICVectAddr2 = (unsigned long)adc_routine; // set Interrupt slot1 to adc_routine function
    //VICVectCntl2 = 0x20 | 18; // enable slot and be choosen for AD0
    //VICIntEnable |= 0x00040000; // enable AD0 interrupt
}

25
void convert_adc (void)
{
    AD0CR |= 0x01000000; // start conversion
}

30
void upd_dac (unsigned char val)
{
    DACR_DATA = val; // see definition of DACR_DATA in adc.h
}

35
void init_dac (void)
{
    DACR |= 0x00010000; // enable maximum power mode
}

```

ก.19 ไฟล์ '/adc/adc.h'

```
#ifndef _ADC_H_
#define _ADC_H_

#define DACR_DATA      (*((volatile unsigned char *) 0xE006C001))

5
#define conversion_adc()  ADCR |= 0x01000000

void init_adc (void);
void convert_adc (void);
10 void init_dac (void);
void upd_dac (unsigned char val);

#endif
```